

Московский Государственный Университет  
имени М.В.Ломоносова  
Химический факультет  
=====

Кафедра высокомолекулярных соединений

А.В.Ермолина, В.И.Герасимов

МЕТОДИЧЕСКИЕ РАЗРАБОТКИ  
К ПРАКТИЧЕСКИМ РАБОТАМ ПО  
СТРУКТУРЕ ПОЛИМЕРОВ

Москва - 1977

Московский Государственный Университет

имени М. В. Ломоносова

Химический факультет

Кафедра высокомолекулярных соединений

Утверждено  
учебно-методической комиссией  
кафедры высокомолекулярных соединений

А. В. Ермолина, В. И. Герасимов

МЕТОДИЧЕСКИЕ РАЗРАБОТКИ К ПРАКТИЧЕСКИМ РАБОТАМ  
ПО СТРУКТУРЕ ПОЛИМЕРОВ

Под редакцией  
профессора Н. Ф. Бакеева

Москва - 1977

"Методические разработки к практическим работам по отструктуре полимеров" состоит из теоретической части и пяти задач.

В теоретическую часть введен материалов, необходимый для понимания сущности выполненных студентами задач. В ней дан материал по основам термодинамики и кинетики процесса кристаллизации полимеров, а также изложены современные представления о структуре полимеров.

Выбор задач в экспериментальной части разработок сделан с таким расчетом, чтобы, выполнив их, студенты имели возможность на практике ознакомиться с основными особенностями структуры полимеров, отличающих их от низкомолекулярных веществ.

Отглавление	Стр.
Теоретическая часть .....	5
Условия кристаллизации.....	6
Термодинамика кристаллизации.....	8
Кинетика кристаллизации.....	II
Упаковка макромолекул полимеров.....	15
Наномолекулярные структуры полимеров.....	21
Экспериментальная часть .....	
Задача 1. Определение фазового перехода в полимерах.....	30
Задача 2. Рентгенографическое изучение распределения ориентаций осей макромолекул в ориентированном состоянии.....	44
Задача 3. Определение оптического знака двупреломления сферулитов полипропилена.....	51
Задача 4. Кинетика кристаллизации полимеров из расплава.....	57
Задача 5. Изучение связи между структурой и физико-механическими свойствами полимеров.....	59
Литература.....	64

"Методические разработки к практическим работам по структуре полимеров" состоит из теоретической части и шести задач.

В теоретическую часть введен материалов, необходимый для понимания существа выполненных отудаэтами задач. В ней даны материалы по основам термодинамики и кинетики процесса кристаллизации полимеров, а также краткое современные представления о структуре полимеров.

Выбор задач в экспериментальной части разработок сделан с таким расчетом, чтобы, выполнив их, студенты имели возможность на практике ознакомиться с основами особенностями структуры полимеров, отличающих их от некомпликулярных веществ.

	Стр.
Содержание	
Теоретическая часть .....	5
Условия кристаллизации.....	6
Термодинамика кристаллизации.....	8
Кинетика кристаллизации.....	II
Упаковка макромолекул полимеров.....	15
Надмолекулярные структуры полимеров.....	21
Экспериментальная часть	
Задача 1. Определение фазового перехода в полимерах.....	30
Задача 2. Рентгенографическое изучение распределения ориентаций осей макромолекул в ориентированном состоянии.....	44
Задача 3. Определение оптического знака двупреломления оферолитов полипропиленов.....	51
Задача 4. Кинетика кристаллизации полимеров из расплава.....	57
Задача 5. Изучение связи между структурой и физико-механическими свойствами полимеров.....	59
Литература.....	64

Высокомолекулярные соединения, подобно низкомолекулярным веществам, в зависимости от строения молекул и условий могут находиться в аморфном (жидком) и кристаллическом фазовых состояниях.

Фазовый переход высокомолекулярных соединений (плавление, кристаллизация, переход из одной кристаллической формы в другую), как и низкомолекулярных, сопровождается изменением взаимного расположения структурных элементов и термодинамических свойств вещества.

Особенностью высокомолекулярных тел является то, что первичный структурный элемент - цепная макромолекула - содержит химически самостоятельные отрезки цепи - сегменты, определяющиеsegmentальную подвижность макромолекулы. Далльний порядок при кристаллизации может устанавливаться как относительно целых цепных молекул, так и относительно отдельных ее частей.

Поэтому понятие о ближнем и дальнем порядке полимера, в отличие от низкомолекулярных тел, должно содержать указание о том, к каким структурным элементам оно относится: к макромолекулам в целом или к отдельным ее частям.

Поскольку при фазовых превращениях происходят изменения структурных и термодинамических свойств, то для определения фазового состояния полимеров используют два критерия - термодинамический и структурный.

Термодинамический критерий фазового перехода характеризуется скачкообразным изменением всех термодинамических экстенсивных (пропорциональных массе) величин, таких как объем, энтропия, внутренняя энергия и др.

Абсолютно резкое изменение этих свойств от температуры возможно при условии, что система обладает вполне современным внутренним порядком кристаллической решетки. Для низкомолекулярных кристаллических веществ наблюдается сравнительно резкий скачок термодинамических свойств при плавлении (кристаллизации). Для высокомолекулярных соединений эти изменения происходят не резко, а в некотором интервале температур, поэтому использование этого критерия для установления фазового состояния полимеров затруднительно.

Ширина этого интервала зависит от совершенства порядка в кристаллической фазе и размера кристаллов.

В экспериментальной практике изучение изменений термодинамических свойств проводят с помощью методов дилатометрии, калориметрии и дифференциального термического анализа.

Использование структурного критерия основано на том, что при кристаллизации (плавлении) происходит изменение взаимного расположения структурных единиц (атомов, ионов и молекул для случая анизомолекулярных веществ, молекул или отдельных их частей для полимерных веществ).

Дифракционные методы исследования структуры веществ (рентгенография, электролитография) позволяют установить порядок в расположении элементов. Так, наличие дальнего порядка в строении вещества сопровождается появлением на картинах рассеяния рентгеновых лучей большого количества четких и интенсивных рефлексов.

Дифракционные картины от закристаллизованных полимерных веществ отличаются от рентгенограмм обычных кристаллов тем, что наряду с острыми рефлексами почти всегда присутствует диффузное кольцо (гало). Оно обусловлено значительной дефектностью кристаллической решетки полимера и тем, что какая-то часть вещества в нем не закристаллизовалась и находится в аморфном состоянии.

#### Условия кристаллизации

Для осуществления процесса кристаллизации в полимерах необходимо соблюдение некоторых условий, каждое из которых является необходимым, но недостаточным.

1. Во-первых, для построения правильной кристаллической решетки необходимо, чтобы молекулы полимера были построены регулярно, т.е. обладали линейным строением цепи с определенным чередованием звеньев и однотипным их расположением в пространстве относительно цепи главных валентностей. Так, стереорегулярный полипропилен является высокопрочным кристаллическим полимером с температурой плавления 170°C, в то время как атактичес-

кий полипропилен не кристаллизуется и является эластомером с температурой текучести около 100°.

Полимеры, строение которых только частично удовлетворяет первому условию, иногда также могут кристаллизоваться, если нарушение регулярности невелико. В этом случае нерегулярная часть цепи может либо входить в кристаллическую решетку, оставаясь в ней дефектами, либо оставаться в аморфных областях.

Кристаллизуется полистилен как линейного, так и разветвленного строения, но структура и свойства этих представителей одного полимера различны.

2. Второе условие кристаллизации – осуществление принципа плотной упаковки. Полимерные вещества, как и анизомолекулярные, подчиняются этому принципу.

В момент фазового превращения при взаимной укладке цепей или отдельных звеньев должна быть реализована наиболее плотная упаковка.

Коэффициенты упаковки (отношение собственного объема молекул к объему реально занимаемому молекулами) у большинства закристаллизованных полимеров лежат в пределах 0,62–0,67 и близки к коэффициентам упаковки обычных твердых тел. Для осуществления принципа плотной упаковки конформация цепей должна быть такой, чтобы при их сближении не создавались стерические затруднения. Так, стереорегулярный полистирол является кристаллическим полимером, а пол-*n*-изобутил, имеющий более объемные заместители, не кристаллизуется.

3. Третье условие, необходимое для протекания фазовых превращений в полимерах – кинетическое. Для осуществления кристаллизации молекулы полимера должны обладать определенной подвижностью, чтобы цепи могли перемещаться и укладываться в кристаллическую решетку. Практически она может осуществляться в области температур выше температуры стеклования в иных температурах плавления. Если температура стеклования полимера ниже комнатной, при обычных температурах чистой полимер существует в кристаллическом состоянии (полистилен, полипропилен, политетрафторэтилен). Если же полимер застеклевается при сравнительно высоких температурах, то для получения кристал-

лического состояния его следует нагреть выше температуры стеклования (полиэтилентерефталат, поликарбонаты). У полимеров с очень жесткими цепями температуры стеклования лежат в области высоких температур, часто выше температуры их химического разложения (нейтрализации). Такие полимеры не кристаллизуются даже при длительном отжиге. Но если введение в полимер низкомолекулярных пластификаторов удастся понизить температуру стеклования, то при соблюдении I и 2 условий полимер может закристаллизоваться. Если же соблюдается хотя бы одно из этих условий кристаллизации, полимерное вещество будет находиться в аморфном состоянии.

Аморфное состояние характеризуется наличием ближнего порядка в расположении молекул полимера или отдельных звеньев.

Хорошо известно, что даже в низкомолекулярных жидкостях наблюдаются области с правильным расположением небольшого числа молекул друг относительно друга. Упорядоченные группы малых молекул носят флюктуационный характер и имеют ограниченные размеры. В большей мере упорядоченность наблюдается в жидкостях с молекулами вытянутой формы. Тенденция располагаться упорядоченно проявляется в наибольшей степени у молекул полимерных веществ, отличающихся особенно большой анизотропией формы. Благодаря замедленности релаксационных процессов агрегаты больших молекул, получившие название "пачек", в стеклообразном состоянии остаются неизменными.

Высокий порядок в расположении молекулярных цепей сохраняется в полимерах в определенных условиях даже в растворенном и расплавленном состояниях. При определенных условиях большинство из синтетически полученных высокомолекулярных соединений способны к фазовым превращениям.

#### Термодинамика кристаллизации

Как известно, после достижения определенной температуры и процесс кристаллизации в системе начинает протекать самопроизвольно, т.е.  $\Delta F_{\text{кр.}} < \Delta F_{\text{распл.}}$ ,  $\Delta F_{\text{кр.}}$  и  $\Delta F_{\text{распл.}}$  — изобарно-изотермический потенциал, соответственно, кристаллической фазы и

расплава. Переход расплав-кристалл осуществляется самопроизвольно в зонтикованной области (рис. 1). Кристаллизация полимеров сопровождается выделением теплоты плавления ( $\Delta H_{\text{пл.}}$ ), которая представляет собой разность энthalпий полимера в расплавленном и кристаллическом состояниях. Темпера-  
тута плавления экспериментально определяется по тепловому эффекту фазового превращения и она связана с  $\Delta S_{\text{пл.}}$  соотношением

$$T_{\text{пл.}} = \frac{\Delta H_{\text{пл.}}}{\Delta S_{\text{пл.}}}$$

Рис. 1

$\Delta S_{\text{пл.}}$  — энтропия плавления — это разность между величинами энтропии расплавленного и закристаллизованного полимера. Фазовый переход веществ, состоящих из больших и малых молекул, имеет общую термодинамическую природу. Однако, изменение структуры и термодинамических свойств при фазовых превращениях полимеров происходит в некотором интервале температур. Расширение температурного интервала плавления полимерных кристаллов объясняется сложностью и неоднородностью строения кристаллических областей и их малыми размерами.

Существование морфологического спектра структур с различной степенью упорядоченности приводит к тому, что изобарно-изотермический потенциал системы зависит не только от температуры и давления, как в случае низкомолекулярных кристаллов, но также и от степени совершенства и размеров кристаллических областей. Поэтому температуру плавления ( $T_{\text{пл.}}$ ) в уравнении

$$\Delta F = \Delta H - T \Delta S \quad (I)$$

будет отвечать не одно строгое значение, а некоторый температурный интервал. Температура, при которой будет плавиться полимер, связана с кинетическими условиями кристаллизации структур, а также со скоростью достижения  $T_{\text{пл.}}$ . Поэтому образцы, закристаллизованные при разных температурах и быстро нагретые, также

расплываются при разных температурах. Например, натуральный кунжук, закристаллизованный при разных температурах, плавится в температурном интервале от 0° до 30°. Естественно, эти температуры плавления ( $T_{\text{пл}}$ ) не отвечают минимуму изменения свободной энергии в уравнении (1).

В принципе возможна и реакция равновесной температуры плавления ( $T_{\text{пл}}^0$ ). Если образцы изотермически отжигать в течение длительного времени и после кристаллизации нагревать очень медленно, то они расплываются при температурах, близких к  $T_{\text{пл}}^0$ . Вопрос, в какой мере можно приближаться к идеальному кристаллическому состоянию, можно решить экспериментально по узости температурного интервала плавления и воспроизводимости результатов по определению температуры плавления.

Помимо степени совершенства структур на значение температуры плавления влияют, как уже отмечалось, размеры кристаллических областей. В реальных полимерных системах длина кристаллита, отвечающая минимуму свободной энергии, трудно достижима и поэтому существует определенное распределение кристаллитов по их размерам. Это приводит к появлению избыточной свободной энергии концов кристаллита, вносящей свой вклад в полную свободную энергию плавления и в снижение устойчивости, а также и к понижению температуры плавления системы.

$$T_{\text{пл}} = T_{\text{пл}}^0 \left( 1 - \frac{\sigma G}{\Delta H L P} \right) \quad (2)$$

$T_{\text{пл}}$  - экспериментально наблюдаемая температура плавления кристаллитов длины  $L$ ;

$T_{\text{пл}}^0$  - равновесная температура плавления, отвечающая  $\Delta F = 0$ ;

$\sigma$  - коэффициент свободной энергии на моль звеньев, образующих концы кристаллита;

$\Delta H$  - теплота плавления на мономерное звено цепи;

$P$  - плотность кристаллической фазы.

Из этой формулы видно, что кристаллы, имеющие больший размер, плавятся при более высокой температуре.

### Кинетика кристаллизации

Механизм кристаллизации полимеров аналогичен этому процессу, протекающему в низкомолекулярных средах. Он включает две стадии: образование новой кристаллической фазы и дальнейший рост кристаллов. Для полимерных систем иногда наблюдается так называемая вторичная кристаллизация, состоящая в совершенствовании образовавшихся структур.

Общая теория зародышобразования основывается на предположении, что тепловые флуктуации в жидкости (расплаве или растворе) приводят к непрерывному образованию и исчезновению "кристаллических" роев молекул. При любой температуре, выше или ниже температуры кристаллизации, существует статистическое распределение этих роев по размерам. В результате теплового движения некоторые из них разрушаются, другие могут увеличиваться и стать зародышами кристаллизации. Наибольшую возможность взяться за центром кристаллизации имеет более крупные по размерам рои. При понижении температуры тепловые колебания становятся менее эффективными в преодолении сил межмолекулярного взаимодействия и рои любых размеров существуют продолжительное время, средний размер роя также увеличивается. Свободная энергия образования кристаллического роя, т.е. изменение свободной энергии системы при образовании такого роя, будет зависеть от количества молекул в рое, от площади поверхности и ее поверхностного напряжения, а также от химического потенциала данного вещества в жидким и твердом состояниях.

$$\Delta F = \sum_i n_i a_i b_i + \frac{n}{N} (\mu_i - \mu), \quad (3)$$

где сумма берется по всем поверхностям роя,

$n_i$  - число молекул на поверхности;

$a_i$  - площадь поперечного сечения молекул на  $i$ -той поверхности;

$n_i a_i$  - площадь  $i$ -той поверхности;

$b_i$  - поверхностное напряжение на  $i$ -той поверхности;

$n$  - общее число молекул в рое;

$N_A$  - число Авогадро;

$\mu_3$  - химический потенциал вещества в твердом состоянии;  
 $\mu_1$  - химический потенциал вещества в жидком состоянии  
 (расплав, раствор).

Из формулы (3) видно, что когда  $\mu_3 - \mu_1 > 0$ , то и рост любого размера начнет в результате тепловых флуктуаций. Если  $\mu_3 - \mu_1 < 0$ , то  $\Delta F$  положительно для малых  $n$ , отрицательно для больших  $n$  и равно нулю для  $n = 0$ . Таким образом, при определенном  $n$ , которое мы обозначим  $n^*$ ,  $\Delta F$  проходит через максимум ( $\Delta F^*$ ). Если  $n$  больше, чем  $n^*$ , то свободная энергия будет уменьшаться с присоединением к нему новых молекул. Рост, состоящий из  $n^*$  молекул, называют ядром (зародышем) и говорят, что он имеет критические размеры ( $r^*$ ). Свободная энергия роста, меньшего критического размера, увеличивается с присоединением новых молекул (3). Следовательно, такой рост термодинамически невыгоден и, в среднем, тепловые флуктуации приведут к исчезновению зародыша. Некоторые росты, однако, дорастают до критических размеров. Для  $n = n^*$  и даже несколько больших,  $\Delta F$  еще выше нуля, и таким образом, ядро еще остается неустойчивым. Однако, вероятность роста теперь больше, чем вероятность растворения, и с увеличением размеров  $\Delta F$  вскоре становится отрицательным, а свободная энергия системы уменьшается. Затем рост будет продолжаться до тех пор, пока не исчерпается запас молекул или система не достигнет минимума свободной энергии. Таким образом, из сказанного видно, что зависимость изменения свободной энергии  $\Delta F$  от размера зародыша  $r$  (или числа молекул  $n$ ) проходит через максимум (рис. 2). Критические размеры зародыша уменьшаются с падением температуры, а скорость зародышебразования быстро увеличивается с ростом переохлаждения. Зависимости скоростей зародышебразования ( $N$ ) и роста самих зародышей ( $G$ ) имеют такой вид (рис. 3). Скорости зародышебразования и роста зародышей идентично меняются

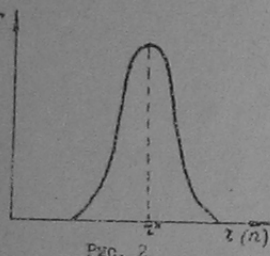


Рис. 2

от температуры, лишь максимумы смешены друг относительно друга по шкале температур. Таким образом, механизм кристаллизации полимеров из расплавов и растворов принципиально тот же самый, что и для низкомолекулярных соединений, но имеет свои особенности, связанные с большой длиной молекул. Процесс зародышебразования и дальнейший рост кристаллов может происходить либо путем присоединения повторяющихся звеньев или целых молекул в поперечном и продольном направлениях к уже объединенным и выпрямленным макромолекулам, либо путем складывания цепей и последующего их подстраивания.

Большая длина макромолекул сказывается и на кинетике процесса кристаллизации, которая в этом случае носит явно выраженный релаксационный характер. Механизм зародышебразования, описанный выше, называют гомогенным. В отличие от него при гетерогенном процессе образования зародышей центры кристаллизации появляются практически мгновенно, как только устанавливается заданная температура кристаллизации. В качестве гетерогенных зародышей могут выступать примеси, частицы нерастворенного полимера, специально введенные агенты зародышебразования. Кинетика кристаллизации высокомолекулярных веществ описывается уравнением Колмогорова-Арвами, выведенным для низкомолекулярных веществ из предположения, что процесс кристаллизации является двухстадийным процессом, т.е. включает стадию зародышебразования и роста. В аналитическом виде уравнение изотермы кристаллизации записывается так:

$$\theta = e^{-Kt^2}, \quad (4)$$

где  $\theta$  - доля незакристаллизованного вещества ко времени  $t$ ;  
 $K$  - суммарная константа скорости кристаллизации;

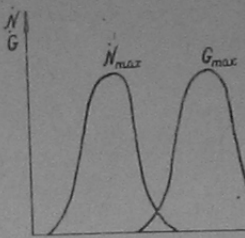


Рис. 3

$\pi$  - параметр, зависящий от природы зародышей и механизма роста.

В таблице представлены значения параметра "п" в уравнении (4) для двух различных механизмов образования зародышей (гомогенный и гетерогенный) и рассмотрены три случая роста.

Таблица I

Характер роста	Механизм возникновения зародышей	
	Гомогенный	Гетерогенный
Трехмерный (сфера)	$\pi = 4$	$3 \leq \pi \leq 4$
Двумерный (диск)	$\pi = 3$	$2 \leq \pi \leq 3$
Одномерный (стержень)	$\pi = 2$	$1 \leq \pi \leq 2$

Как видно из таблицы, исходя из полученного значения "п", нельзя сделать конкретного вывода о механизме зародышебразования, т.к. одно и то же числовое значение "п" соответствует гомогенному и гетерогенному процессам образования зародышей, но с разным характером роста. Константа суммарной скорости кристаллизации "К" характеризует скорость превращения расплав-кристалл. В широком интервале температур кристаллизации "К" изменяется по кривой вида, изображенного на рис. 4. Кроме того,

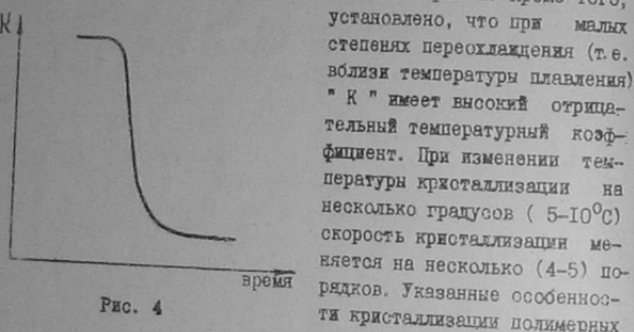


Рис. 4

веществ связаны с тем, что "К" зависит от двух процессов: окрестности зародышебразования ( $N$ ) и скорости роста кристаллов ( $G$ ).

$$K \approx NG$$

Для описания процесса кристаллизации из расплавов необходимо измерить временную зависимость какого-либо свойства, чувствительного к изменению степени кристалличности. Полученные зависимости, обработанные по уравнению (4) дают значения скорости кристаллизации "К" и параметра "п".

#### Упаковка макромолекул полимеров.

Кристаллизация полимеров, как и низкомолекулярных веществ, сопровождается возникновением дальнего порядка в расположении звеньев молекулярных цепей в трех измерениях, т.е. образованием кристаллической решетки. Пространственная решетка полимерного вещества аналогична решетке низкомолекулярных соединений и отличается лишь тем, что отдельные идентичные группы атомов, входящие в кристалл, соединены между собой в полимерные цепи с помощью ковалентных связей. Решетку нетрудно себе представить для случая полимера, если учесть, что отдельная изолированная макромолекула представляет собой одномерную последовательность атомов или радикалов, к которой могут быть присоединены и боковые группы. Совокупность таких молекул при правильной их укладке может дать идеальную кристаллическую решетку. В действительности при упаковке макромолекул кристаллизующихся полимеров друг относительно друга в объеме случае выдерживается трехмерный порядок, но кристаллическая решетка полимерных веществ далеко не идеальная. Отклонение от совершенной укладки (сдвиги, изгибы макромолекул) приводят к различного рода нарушениям кристаллической решетки.

Так как периоды повторяемости кристаллической решетки полимерных веществ одного порядка с длиной волны рентгеновского излучения, то они являются, как и в случае низкомолекулярных кристаллов, естественной дифракционной решеткой для этого вида излучения. Интерференционная картина, возникающая при взаимодействии

стых рентгеновских лучей с решеткой кристалла, отражает его внутреннее строение. Рентгенографическое исследование полимеров основывается на работах Лава, Вульфа и Браггов, относящихся к изучению низкомолекулярных кристаллов.

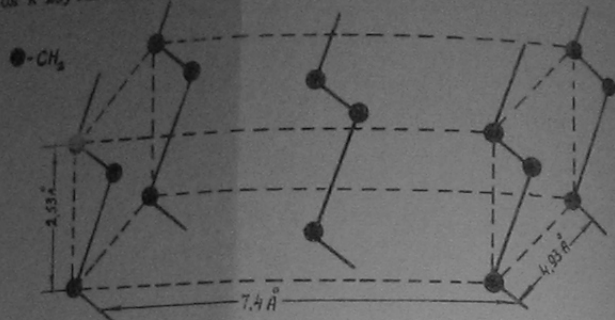


Рис. 5 Элементарная ячейка полистирина

Элементарные ячейки полимеров (рис. 5) имеют размеры от нескольких ангстрем до нескольких десятков ангстрем. Размеры макромолекул значительно больше и в кристалле одна цепь проходит через большое число элементарных ячеек.

Наиболее простой структурой цепи обладает полистирен. Углеродные атомы его макромолекулы образуют плоский зиг-заг. Период идентичности цепи, равный длине одного мономерного звена и совпадающий с параметром "С" элементарной ячейки, равен  $2,53 \text{ \AA}^0$ . Такая же конформация у молекул нормальных парафинов. При упаковке макромолекул полистирена в кристаллите чаще всего реализуется ромбическая элементарная ячейка, реже моноклинная и триклинная, причем в особых условиях одна из них может переходить в другую. Кроме полистирена полиморфизм наблюдается также и для других полимеров (полипропилен, капрон, поливинилиден-фторид и др.).

Закристаллизованные полимеры являются поликристаллическими телами и поэтому к ним применим метод съемки рентгенограмм

Дебая. Сравнение рентгенограмм полимерных и низкомолекулярных веществ показывает, что число рефлексов даже на рентгенограмме высококристаллического полимера, в несколько раз меньше, чем у обычного кристалла. Ширина рефлексов на рентгенограммах кристаллических полимеров обычно значительно больше, чем на рентгенограммах низкомолекулярных кристаллов. Это объясняется тем, что кристаллические области в полимерах значительно меньше по размерам и менее упорядочены, чем в низкомолекулярных веществах. Из ширины рефлекса можно определить размеры кристаллических областей

$$B = \frac{\lambda}{h \cos \theta}, \quad (5)$$

где  $h$  - размер кристаллической области;

$\lambda$  - длина волны используемого излучения;

$B$  - ширина рефлекса на полувысоте максимума;

$\theta$  - угол рассеяния, соответствующий данному рефлексу.

Величина " $h$ " для полимеров меняется обычно от  $100 \text{ \AA}^0$  до  $1000 \text{ \AA}^0$ . Кристаллизация при температурах, близких к температуре отеклования, приводит к образованию небольших малоупорядоченных кристаллитов. Отжиг или кристаллизация при температурах, близких к температурам плавления, обычно увеличивает размеры кристаллитов и степень их упорядоченности.

Значительная дефектность кристаллической решетки полимеров также приводит к некоторому размытию рефлексов на их рентгенограммах.

Дифракционные картины полимерных веществ отличаются еще и тем, что на фоне четких рефлексов от упорядоченной части полимера всегда присутствует диффузное кольцо (гало). Оно обусловлено не только значительной дефектностью кристаллической решетки, но и тем, что полностью полимер никогда не бывает закристаллизован и какая-то часть его находится в аморфном состоянии. Для характеристики этой особенности полимеров используют понятие степени кристалличности, которая показывает, какая часть полимера закристаллизована и входит в состав кристаллических областей. Рентгенографически эту величину находят как отношение интегральной интенсивности кристаллических рефлексов к интенси-

вности аморфного гало. Для этой цели можно использовать и другие методы (инфракрасная спектроскопия, плотность и др.). В зависимости от условий кристаллизации и строения макромолекул степень кристалличности может колебаться от 20% до 80%.

Если полимер представляет собой изотропное тело и в нем нет преимущественных направлений в расположении макромолекул, то возникает симметричальная по отношению к первичному пучку рентгенограмма.

В зависимости от характера упорядоченности макромолекул в полимере возникают различного типа рентгенограммы.

Для полимеров можно выделить три основных типа рентгенограмм.

При наименее совершенном порядке в расположении молекул на рентгенограмме видны два или три размытых кольца. В этом случае можно считать, что полимер находится в аморфном состоянии. Однако, аморфное состояние полимерных тел имеет свои особенности. Во-первых, в случае полимеров наблюдается сравнительно высокий порядок между отдельными цепями или их звеньями при отсутствии его между атомами или атомными группировками, принадлежащими различным молекулам. При таком расположении цепей отсутствует двумерная решетка в расположении центров цепей (рис. 6).

Во-вторых, своеобразное строение длинной молекулы, состоящей из более или менее регулярно чередующихся атомов, также приводит к появлению дополнительного порядка полимерной системы в пределах аморфного состояния. Поэтому, если рентгенограммы низкомолекулярных аморфных тел имеют одно диффузное кольцо, то картины рассеяния незакристаллизованных полимеров и их расплавов характеризуются обычно двумя или тремя кольцами. В рентгенограммах второго типа имеются одно или два резких кольца. Такая рентгенограмма характерна для полимеров, в

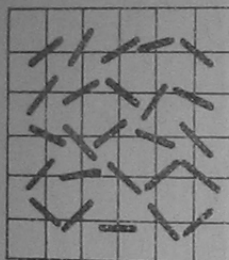


Рис. 6

ми кольцами. В рентгенограммах второго типа имеются одно или два резких кольца. Такая рентгенограмма характерна для полимеров, в

которых сохраняется только двумерный или одномерный порядок в расположении цепей и звеньев. Наиболее характерен случай, когда оси параллельны одна другой, но повороты отдельных макромолекул относительно осей хаотичны. При этом центры цепей в плоскости, перпендикулярной осям макромолекул, образуют двумерную гексагональную решетку (рис. 7). Структурой такого типа (гексокристаллической) обладают атактический поликарилонитрил, поликарбозаты и полипропилен после быстрой закалки. Такова же структура политетрафторэтилена и поликапроамида при высоких температурах.

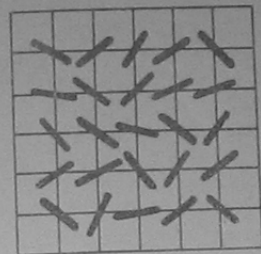


Рис. 7

не только оси цепей образовывают правильную решетку, но повороты и сдвиги цепей вполне упорядочены (рис. 8). Однако, на рентгенограммах закристаллизованных полимеров всегда присутствует размытое гало, свидетельствующее о том, что в нем присутствует какая-то часть вещества в аморфном состоянии. Кроме того, сама кристаллическая решетка полимера весьма дефектна.

Большое количество полимеров для практического использования получают в ориентированном состоянии (волокна, пленки).

Ориентированное состояние полимеров различается по фазовому состоянию и оно может быть как кристаллическим так и аморфным.

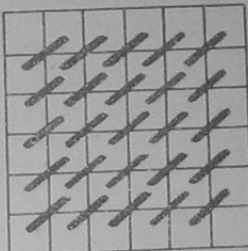


Рис. 8

При растяжении аморфных полимеров происходит ориентация цепей, которые могут уложиться в кристаллическую решетку, если соблюдаются условия, необходимые для кристаллизации. В противном случае проходит только взаимная ориентация цепей друг относительно друга, повороты же осей молекул и сдвиги молекул друг относительно друга будут оставаться произвольными. Признаком процесса ориентации, происходящим в образце, является постепенное превращение сплошных колец на рентгенограмме в отдельные отщепки или рефлексы (рис. 9). Признаками процессов кристаллизации при растяжении образца, проявляющимися на рентгенограмме, являются уменьшение ширин существующих рефлексов и увеличение общего их числа, связанное с появлением нового трехмерного порядка в системе. Ориентированное состояние кристаллических полимеров характеризуется тем, что кристаллиты расположены не беспорядочно, а ориентированы по определенным направлениям. В этом случае говорят, что образец обладает текстурой.

Для полимеров наибольший интерес представляет случай, когда одна и та же ось у всех кристаллитов ориентирована по определенному направлению, а повороты вокруг этой оси произвольны. Такой тип ориентации называется аксиальной текстурой. В большинстве случаев у полимеров ось текстуры совпадает с осью макромолекулы. При высоких степенях ориентации все же не удается осуществить строгую параллельность осей всех молекул. Всегда имеется определенный разброс в ориентации цепей и кристаллитов.

Более редко встречается другой тип текстур, когда у всех кристаллитов совпадают направления двух различных осей (двухосая или плоскостная текстура). Плоскостная текстура образу-

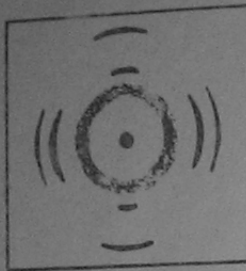


Рис. 9

ется, в частности, при двухосной ориентации или прокатке материала и встречается, в основном, в полимерных пленках.

Тип текстуры и дисперсия ориентаций кристаллитов могут быть определены методом рентгенографии. Труднее оценить ориентацию макромолекул в аморфных областях кристаллического ориентированного полимера. Для этой цели чаще всего применяют различные оптические методы.

Фазовые превращения при ориентации можно осуществить при более высоких температурах, при которых в изотропном состоянии самопроизвольная кристаллизация невозможна. Если аморфный образец предварительно ориентировать, т. е. снизить энтропию системы, то температура кристаллизации может значительно возрастать. Это относится к тому случаю, когда изменение энталпии при ориентации и кристаллизации не компенсируется энтропийным членом.

Итак, из всего сказанного можно сделать вывод, что высокомолекулярные соединения благодаря цепной природе макромолекул в аморфном фазовом состоянии характеризуются высокой степенью порядка в расположении макромолекул, кристаллическое же состояние полимеров является весьма дефектным.

#### Надмолекулярные структуры полимеров

Следует отметить, что процессы упорядочения в полимерах не заканчиваются правильной организацией макромолекул, а идут значительно дальше с образованием структур порядка выше молекулярного, так называемого, надмолекулярного. Под надмолекулярными структурами полимеров следует понимать совокупность разнообразных по форме, размерам и внутреннему строению обособленных образований, состоящих из многих цепных молекул полимерного вещества. Любой кристаллизующийся полимер в зависимости от условий может быть получен в различных морфологических формах. Из всего многообразия структур полимеров в качестве основных типов можно выделить монокристаллы, дендриты, фибрillярные образования и сферолиты.

Монокристаллы полимеров – одиночные кристаллы, обладающие строгой геометрической формой, имеющие эдакую кристаллическую

решетку и характеризующиеся фиксированными углами. Это наиболее современная форма кристаллизации полимеров. Они могут быть получены выделением новой фазы из очень разбавленных растворов при их медленном охлаждении или изотермической выдержке ниже равновесной температуры растворения. Монокристаллы полимеров обычно представляют собой плоские пластинки (ламели) толщиной около  $100 \text{ \AA}^0$ , стороны которой могут достигать нескольких микрометров. Пластины полистирина, например, имеют форму ромба, в плоскости которого оси "a" и "b" элементарной ячейки расположены, соответственно, вдоль длинной и короткой диагоналей. Оси макромолекул направлены перпендикулярно пластине. Поскольку толщина пластинки ( $100 \text{ \AA}^0$ ) значительно меньше длины макромолекул ( $\sim 10^5 \text{ \AA}^0$ ), то они должны иметь складчатую конформацию (рис. 10). На рентгенограммах, снятых под малыми углами, также обнаруживается большой период порядка  $1000 \text{ \AA}^0$ . Так, если у полистирина толщина пластины  $120 \text{ \AA}^0$ , а молекулярный вес  $10^5$ , то это означает, что макромолекула складывается приблизительно 70 раз через каждые 100 атомов углерода. В местах изгиба макромолекул, куда входит 3-4 мономерных звена, на широких гранях кри-

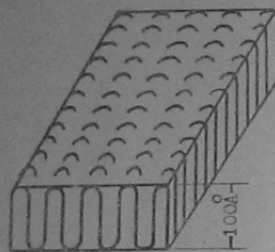


Рис. 10

стала (поверхностях складывания) возникают нарушения, приводящие к склонению от кристаллического строения. Кроме того, цепи могут возвращаться в пластину не рядом с местом, из которого они вышли, а в некотором удалении или вообще не возвращаться, так что при многократном входении одной и той же цепи в пластину образуются лягушки, концы цепей и другие дефектные участки. Цепи, не возвращающиеся в свою пластину, могут участвовать в образовании соседнего монокристалла. Такие, так называемые проходные цепи играют большую роль в формировании механичес-

ких свойств полимерных тел. Толщина пластин и размер складок не постоянен, они увеличиваются при возрастании температуры кристаллизации или отжига (рис. 11). С приближением температуры кристаллизации к температуре плавления полимера происходит резкое увеличение толщины пластины, так что, например, для полистирина могут наблюдаться величины большого периода  $300 - 400 \text{ \AA}^0$  и более. При отжиге увеличение толщины пластина сопровождается образованием в них большого числа пор. Следует заметить, что увеличение большого периода при отжиге носит необратимый характер, т.е. при охлаждении образца уменьшение размеров больших периодов не происходит.

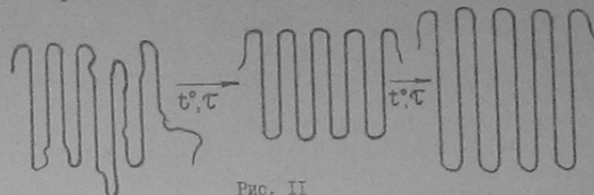


Рис. 11

В реальных условиях кристаллизации из разбавленных растворов образование новой кристаллической фазы происходит путем наложения ламелей с формированием многослойных пластин, причем рост кристаллов осуществляется по дислокационному механизму (рис. 12). Получающиеся при этом террасообразного или пирамидального типа кристаллы обладают большим числом различного рода дефектов. Форма кристаллов зависит также и от природы полимера. Например, кристаллы полистиролексида имеют квадратную форму, полипропилена-прямоугольную, гексагональные кристаллы получены для тетрафторстирина, полиметиленоксида и т.д. В строгом смысле эти



Рис. 12

структура не является монокристаллами, а представляют собой более сложную форму надмолекулярной организации кристаллических полимеров. Такие многослойные образования могут иметь размеры, разрешаемые методами оптической микроскопии (десятки микрон). Кристаллизации высокомолекулярных соединений путем складывания макромолекул на седи является наиболее распространенным, хотя и не единственным способом надмолекулярной организации полимерных кристаллов, и присуща практически всем полимерам. Таким образом, развитие кристаллической структуры происходит путем параллельной укладки сложенных макромолекул в плоские образования, пластины или ламели. Они и являются тем первичным элементом, дальнейшая укладка которых приводит к образованию всего многообразия надмолекулярных структур в полимерах.

Фибрillярные кристаллы занимают промежуточное положение между монокристаллами и сферолитами. По внешнему виду они напоминают плоские ленты и характеризуются большой величиной отношения длины к толщине. Образование структур такого типа способствует большая скорость охлаждения расплава или очень высокая скорость испарения растворителя из относительно концентрированного раствора, повышенная жесткость полимерной цепи и т.д.

Помагает, что фибрillярные кристаллы являются врожденной формой пластинчатого монокристалла, развивающегося в условиях, способствующих преимущественному росту одной из его граней. Молекулярные цепи в фибрillярных кристаллах ориентированы перпендикулярно длиной оси фибрilli, что является прямым следствием факта складывания цепей в ламелях (рис. 13). Если пластинчатые кристаллы являются основной структурной составляющей фибрillярных кристаллов, то последние, в свою очередь, являются тем основным структурным элементом, из которых построены сферолиты. В целом можно представить себе следующую схему: образование пластинчатых кристаллов из склоненных цепей, агрегирование пластин в высокоупорядоченные образования (монокристаллы) или образование пирамид, дендритов видеть до фибрillярных кристаллов и, наконец, агрегирование фибрillярных кристаллов в сферолиты.

Таким образом пластинчатых и фибрillярных кристаллов встречается еще один тип кристаллических образований - дендриты (рис. 14).



Рис. 13.



Рис. 14.

Дендриты - плоские кристаллы с многоосевой симметрией, имеющие древовидную форму. Рост дендрита начинается с образования ствола под определенными кристаллографическими углами, к которому присоединяются первичные и вторичные ветви. Дендритные кристаллы растут по механизму, отличавшемуся от роста пластинчатых кристаллов, т.е. их развитие не сопровождается наслоением пластин. Дендриты получается в результате последовательного присоединения элементарных боковых фибрilli и последующего агрегирования их в ленты, которые, в свою очередь, могут стать стволами нового дендритного ветвления. Следует отметить, что процесс структурообразования состоит не из последовательно развивающегося механического складывания простейших надмолекулярных структур в более сложные, а из параллельно происходящих процессов одновременного формирования всех уровней надмолекулярного порядка.

Сферолиты - наиболее распространенная форма кристаллизации полимеров, они реализуются практически для всех классов кристаллизующихся полимеров. Под сферолитом понимают трехмерное сплошное кристаллическое образование, обладающее сферической симметрией относительно центра. Иногда реализуются двумерные сферолиты, имеющие круговую симметрию относительно центра, но их можно рассматривать как слой, как бы вырезанный из трехмерного сферолита. Размеры сферолитов могут быть от нескольких микрон до нескольких сантиметров. Необходимым условием образования сферолитных структур является рост кристаллов в высоковязкой среде и большая

переицленность системы, в которой происходит кристаллизация. Эти условия наиболее полно реализуются при кристаллизации полимеров из расплавов или концентрированных растворов. При кристаллизации из расплавов одновременно образуется большое количество центров. При свободном росте из многих центров сферолиты встречаются друг с другом и в дальнейшем принимают форму окружных многогранников. В процессе образования отдельных сферолитов удается различить три простых этапа (рис. 15).

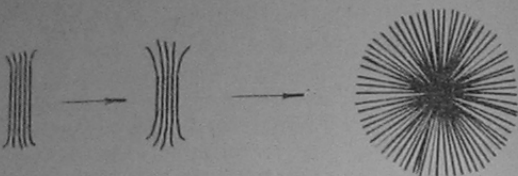


Рис. 15

Образование сферолита начинается с появления зародыша кристаллизации. Как правило, им является единичный кристалл, который вначале растет в форме палочки, а затем начинает расщепляться на концах с образованием все более и более разветвленных структур типа "скопа". Затем начинается радиальный рост дискретных фибрillлярных кристаллических структур. И, наконец, происходит дальнейшая кристаллизация расплава, оставшегося между фибрillами. Однако, часть материала остается аморфной, т.е. не входит в кристаллическую решетку. Этот материал, наряду с сегментами макромолекул на поверхностях складывания в пластинах обуславливает наличие аморфной компоненты в закристаллизованном полимере. Роль этих аморфных областей в механических свойствах полимеров велика. Сферолиты построены из множества фибрillлярных или пластинчатых элементов, расходящихся по радиусу из одного центра.

В зависимости от строения фибрillы различают радиальные и колышевые сферолиты (рис. 16, 18). В сферолитах радиального типа все кристаллы, расходящиеся из центра, имеют одинаковую ориентацию и характеризуются периодическим расщеплением или разветвлением растущих фибрill на определенных расстояниях по длине фибрillы под определенными небольшими углами. В таких сферолитах цепи макромолекул ориентированы в основном более или менее перпендикулярно к направлению радиуса. При исследовании сферолитов радиального типа в скрещенных николях наблюдается темный крест, ветви которого, расходящиеся от центра к периферии, параллельны главным сечениям николяй. Это так называемый мальтийский крест (рис. 17). Сферолиты колышевого типа состоят также из фибрill, расходящихся из единого центра. Отличие от радиальных сферолитов состоит в том, что фибрillы в процессе роста самопроизвольно скручиваются, образуя право или левовращающиеся спирали, если смотреть вдоль радиуса сферолита. В поляризованном свете такие сферолиты помимо мальтийского креста дают систему концентрических колец, расположенных на равных расстояниях, соответствующих шагу спирали (рис. 18). Один и тот же полимер в зависимости от ус-

Рис. 16

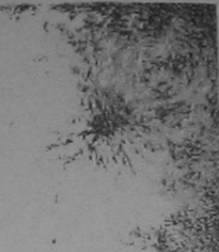


Рис. 17

зом кристаллизации может образовывать сферолиты различного типа. Таким образом, между всеми кристаллическими формами полимеров существует тесная связь. Все кристаллические формы одно-го полимера (монокристаллы, фибролиты, сферолиты) характеризуются одинаковой кристаллографической решеткой, т.е. однаковым типом упаковки макромолекул в кристалле. Отличие между формами выражается в различной упаковке элементарных структурных образований (плстики и фибролиты) относительно друг друга и основного направления роста данной структуры.



Рис. 18

Особенности строения аморфных полимеров, как уже отмечалось, заключаются в том, что в них осуществляется довольно высокий порядок в расположении цепей или отдельных звеньев при отсутствии его между отдельными атомами или атомными группировками, принадлежащими разным молекулам. Процесс упорядочения в аморфных полимерах, как и в кристаллических, не заканчивается сравнительно правильной организацией молекул, а идет значительно дальше.

До последнего времени представления о структуре аморфных полимеров базировались на том, что длинные полимерные цепи при взаимной укладке располагаются более или менее параллельно, давая простейшие структурные единицы (пачки), из которых скапливаются все последующие типы структур. Но некоторые экспериментальные данные свидетельствуют о том, что эта схема не универсальна. Она оправдания для жесткоцепочных полимеров, не обнаруживающих высокой эластичности и гибкости. Для большинства же вязких полимеров, очевидно, характерно такое же складывание цепей, которое наблюдается и для кристаллизующихся полимеров. Например, имеются данные по малоугловой рентгенографии, свидетельствующие о том, что в аморфных полимерах обнаруживаются упорядо-

ченные области (домены) протяженностью около 80–100 Å. Учитывая это обстоятельство и некоторые экспериментальные данные по физико-механическим исследованиям, можно представить структуру аморфного полимера следующим образом. Основной морфологической единицей также является антистронгная фибрilla (пачка), состоящая из доменов со складчатыми цепями (рис. 19). Участки цепей между складками удалены, в основном, параллельно относительно друг друга, но дальний азимутальный порядок, характерный для кристаллических полимеров, отсутствует. Каждая цепь может принадлежать одновременно нескольким доменам и, таким образом, домены могут быть соединены проходными цепями. Плотность проходных цепей в междоменных областях значительно ниже, чем складок внутри домена. Участки проходных цепей, находящихся между доменами, могут иметь различную длину и различные конформации; кроме того, в междоменных областях могут находиться концы некоторых цепей, не вошедшие внутрь доменов. Концы цепей могут также размещаться и внутри областей упорядоченности. Не исключено, что в междоменных областях иногда целиком помещаются отдельные макромолекулы, не вошедшие в домены (особенно низкомолекулярная фракция). Некоторые из доменов фибриллы могут соединяться проходными цепями с доменами соседних фибрилл, число таких цепей значительно меньше, чем между доменами, принадлежащими одной и той же фибрille (рис. 20).

Перемещение доменов друг относительно друга и их повороты связаны лишь с изменениями конформаций отдельных проходных цепей с вытягиванием некоторых из них из доменов. Они не требуют одновременного согласованного вращения большого числа звеньев относительно пластино упакованных макромолекул вокруг одинарных

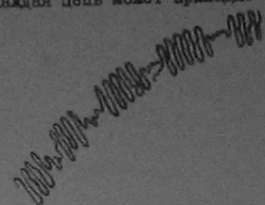


Рис. 19

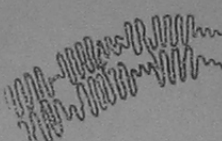


Рис. 20

связей. Плотная укладка фибр или может привести к более высокой организаций (упорядоченной), в общем весьма сходной с надмолекулярной организацией кристаллических полимеров.

Доминанто-фибрарная модель позволяет объяснить роль надмолекулярных структур и возможность проявления молекулярных характеристик отдельных цепей в комплексе механических свойств аморфных полимеров во всех физических состояниях. Таким образом, все разнообразие надмолекулярных структур как кристаллических, так и аморфных полимеров строится, по всей видимости, из морфологических единиц, называемых элементарными единицами — анизотропных фибр или пачек, имеющих либо складчатую природу, либо состоящих из вытянутых цепей. Отличие их состоит в наличии дальнего порядка в случае кристаллического фазового состояния и в отсутствии такого в аморфных полимерах. Дальнейший генезис структур для данного полимера протекает в зависимости от внешних условий (температура, скорость охлаждения, вязкость среды и др.).

#### Задача I. Определение фазового перехода в полимерах

Целью работы является рентгенографическое изучение фазового превращения при изотермической кристаллизации и при ориентации полимеров, находящихся в аморфном состоянии.

Наиболее распространенным методом исследования фазового превращения является рентгенографический метод, который дает возможность оценить изменение порядка в системе по интерференционной картине рассеяния рентгеновских лучей или каких-либо других электромагнитных излучений (поток электронов, нейтронов и др.). Основным критерием наличия кристаллической структуры является дальний порядок, носителем которого на картинах дифракции является большое количество острых и интенсивных рефлексов.

Условия возникновения рентгеновских дифракционных максимумов получают из рассмотрения условий отражения рентгеновских лучей от системы параллельных плоскостей. Пространственную решетку полимера можно представить себе, как совокупность параллельных плоскостей, образованных идентичными группами атомов,

связанных в цепь. Каждое семейство параллельных плоскостей характеризуется своим значением межплоскостного расстояния "d".

Пусть на какое-то семейство плоскостей падает пучок монохроматических рентгеновских лучей, образуя угол  $\vartheta$  (тата) (рис. 21). Луч  $S_1$ , попадая на плоскость  $P_1$ , отразится от нее в направлении  $S$ . Второй луч  $S_2$ , пройдя первую атомную плоскость, отразится от плоскости  $P_2$  и также выйдет в направлении  $S$  и т.д. Отраженные параллельными плоскостями лучи будут интерферировать между собой и в зависимости от их фазового соотношения усиливать или ослаблять друг друга. Отсюда следует, что в направлении  $S$  интенсивность рентгеновских лучей будет максимальной, когда лучи, отраженные отдельными атомными плоскостями, будут находиться в одной фазе, т.е. когда разность их хода будет кратна длине волны. Фазовые соотношения отраженных лучей будут зависеть от длины волны " $\lambda$ ", межплоскостного расстояния "d" и угла скольжения  $\vartheta$ .

Эту зависимость можно выразить математически. В точках В и С лучи  $S_1$  и  $S_2$  находятся в одной фазе, поскольку  $S_1 - S_2$  — фронт плоской волны. После отражения луча  $S_1$  в точке А и луча  $S_2$  в точке С оба они пойдут в одно направление CAS. Луч  $S_2$  пройдет путь, больший, чем луч  $S_1$ , на величину AC-AB, называемую разностью хода. Отражение рентгеновских лучей в направлении CAS будет наблюдаться при разности хода кратной длине волны, т.е. при условии, что  $AC - AB = n\lambda$ ;  $n$  — ряд целых чисел, т.е.  $n\lambda = 2d \sin \vartheta$

(6)

Это соотношение, называемое уравнением Вульфа-Бретта, является основным расчетным уравнением рентгеноструктурного анализа. При помощи этой формулы, зная длину волны рентгеновского излучения,

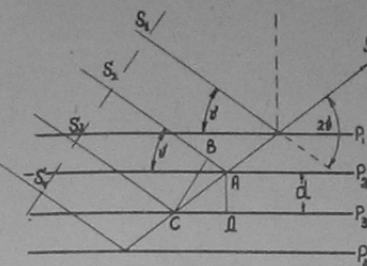


Рис. 21

и, измерив углы склонения, можно вычислить межплоскостные расстояния. Эти данные в дальнейшем используются для определения параметров элементарной ячейки ( $a, b, c, \alpha, \beta, \gamma$ ) пространственной решетки кристалла, которые необходимы для нахождения координат атомов в молекуле или кристалле. В случае исследования поликристаллических веществ с помощью координат атомов можно описать конфигурацию макромолекулы, что и является конечной целью рентгеноструктурного анализа.

В зависимости от того, монокристалл или поликристаллическое вещество подвергается рентгенографическому исследованию, выбираются соответствующие условия съемки рентгенограммы. В случае исследования монокристалла съемку ведут по методу Лауэ, заключающему в том, что на монокристалл действуют полихроматические излучения. Тогда для многих межплоскостных расстояний наклоном длины волн, при которой выполняется уравнение Бульфа-Брэгга. В результате на рентгенограмме возникает большое число дифрактированных лучей. Полученный при таком методе съемки снимок называется дифрактом (рис. 22).

Если объектом исследования является не монокристалл, а поликристаллическое вещество (например, в порошке или блоке) условия съемки иные. В этом случае для дифракции используется монохроматический пучок лучей. В поликристаллическом веществе кристаллики расположены хаотически, поэтому всегда найдется хоть один кристаллик, плоскость которого с направлением задания лучей составит угол, удовлетворяющий уравнению Бульфа-Брэгга. В результате дифракции от одного кристаллика на рентгеновском снимке появится рефлекс в виде точки.

Если кристаллик во время съемки вращать вокруг оси, совпадающей с направлением первичного пучка лучей, то дифрактированный луч от данной плоскости опишет в пространстве конус (рис. 23).

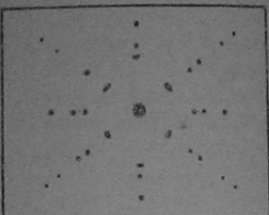


Рис. 22

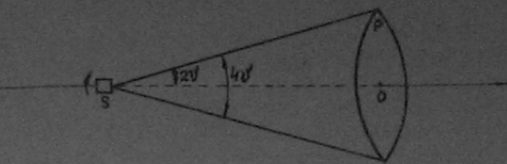


Рис. 23

Ось этого конуса является первичный пучок, а угол при вершине будет равен  $4J$ . Другое семейство плоскостей этого же кристалла дает такой же конус, но с иным углом при вершине. Если на пути отраженных лучей, перпендикулярно первичному пучку, поставить рентгеновскую пленку, то на ней зафиксируется ряд концентрических колец по числу семейств атомных плоскостей, участвующих в дифракции.

Аналогичная интерференционная картина получится в результате дифракции от статистически изотропного поликристаллического вещества. Здесь в силу беспорядочного расположения отдельных кристаллов всегда найдутся такие кристаллики, у которых рассматриваемое семейство плоскостей, удовлетворяет уравнению Бульфа-Брэгга, вместе с тем будет занимать все положения, проходящие сквозь кристаллом при вращении его вокруг первичного пучка. В поликристаллическом веществе это будет справедливо для любого семейства атомных плоскостей, удовлетворяющих уравнению Бульфа-Брэгга.

Метод расчета межплоскостных расстояний по рефлексам рентгенограммы поликристалла, снятой на камере с плоской кассетой, понятен из рис. 23.

$SO$  - направление первичного пучка;

$SP$  - направление дифрагированного луча;

$\angle OSP$  - половина центрального угла в равна  $2J$ .

Расстояние  $SO$  в мм определяется из условий съемки (от обреза до пленки). Расстояние  $OP$  определяется из разграфограммы как радиус колца в мм ( $\ell$ ).

$$\operatorname{tg} 2J = \frac{\ell}{OS}$$
(3)

Отсюда выходит угол рассеяния, соответствующий данному колцу. По известному углу рассеяния из уравнения Вульфа-Брэгга рассчитывают межплоскостное расстояние "d" в Å<sup>0</sup> ( $\lambda$  всегда известно и выражается как длина волны наиболее интенсивного характеристического излучения материала анода рентгеновской трубы). Для получения рентгенограммы полимера в изотропном состоянии применение плоской рентгеновской пленки нецелесообразно, т.к. при больших углах конус не оставляет на ней следа. Поэтому съемку рентгенограмм производят на рентгеновской пленке, уложенной по окружности, в центре которой находится исследуемое вещество. Такая рентгенограмма называется дебаеграммой, а метод съемки - деба-Мерера (рис. 24).

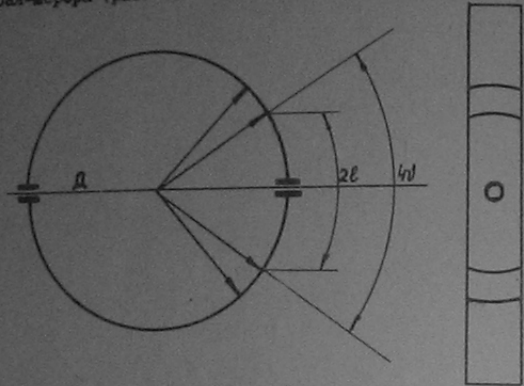


Рис. 24

Из этого рисунка ясен метод расчета межплоскостных расстояний рентгенограммы, снятой на дебаевской камере. Расстояние  $2\ell$  между двумя симметричными интерференциями соответствует центральному углу  $4\vartheta^0$  и зависит от расстояния пленки до исследуемого вещества. Если диаметр цилиндрической камеры равен "D" мм, то центральному углу в  $360^0$  будет соответствовать дуга длиной  $\frac{\pi D}{180}$ , а углу в  $1^0$  - дуга длиной  $\frac{\pi D}{360}$ . Если длина дуги равна  $2\ell$ , то центральный угол, ей соответствующий,

будет равен  $(2\ell \cdot \frac{360}{\pi D})$ . В этом угле заключается 4 углов  $\vartheta$ . Поэтому

$$\vartheta = \frac{1}{4} (2\ell \cdot \frac{360}{\pi D}) = \frac{180}{\pi D} \cdot \ell \quad (8)$$

Это основная расчетная формула в рентгеноструктурном анализе порошков по методу Дебая.

Для облегчения расчетов обычно рентгеновские камеры изготавливаются с таким диаметром, что произведение  $\pi D$  было равно  $180^0$  или кратно ему. Если  $\pi D = 180^0$ , то  $\vartheta$  в градусах =  $\ell$  в мм. Рассчитав  $\vartheta$  в градусах, теперь по формуле Вульфа-Брэгга легко найти значение межплоскостных расстояний в Å<sup>0</sup>.

При съемке рентгенограмм ориентированных полимеров картина дифракции в зависимости от степени вытянутости будет состоять либо из концентрических колец с неодинаковым зачернением по колышу, либо из совокупности отдельных отпечатков интенсивности (рис. 25). Такие картины называются тектур-рентгенограммами. На них различны экваториальные и меридиональные линии. Меридианом является воображаемая линия, проходящая через центр рентгенограммы, параллельно направлению ориентации в образце. Экватором является линия, перпендикулярная меридиану и проходящая через центр тектур-рентгенограммы (рис. 25).

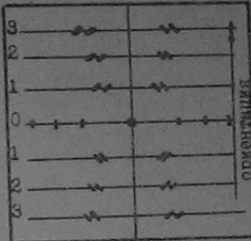


Рис. 25

При съемке рентгенограмм высокоориентированных полимерных образцов иногда можно наблюдать, что рефлексы располагаются по линиям, параллельным экватору рентгенограммы. Этот случай соответствует рассеянию рентгеновских лучей от вытянутых макромолекул с четко выраженным периодом повторяемости по цепи. Линии, мысленно проведенные через рефлексы, и находящиеся на одном и том же расстоянии от экватора, называют слоевыми. Нулевой слоевой линией является экватор. Если первичный пучок лучей перпендикулярен оси текстуры, то рефлексы на текстур-рентгенограмме расположены по экватору.

рентгенограмме способствует симметрическое расположение относительно экватора, т.е. и относительно изображения рентгенограммы. Поскольку по оси величины периода, можно определить длину повторяющегося звена макромолекулы, то, определив величину периода, можно непосредственно рассчитать длину повторяющегося звена макромолекулы. Период повторяемости вдоль оси текстуры определяется из расстояния между словесными линиями.

Если период повторяемости по оси макромолекулы обозначить через "С", расстояние на плёнке словесной линией с номером "N" к нулевой словесной линии обозначить как  $\ell_N$ , расстояние от образца до плёнки -  $a$ , то

$$C = \frac{\ell_N}{\sin \mu_N}, \quad (9)$$

где  $\sin \mu_N$  определяется из условия  $\operatorname{tg} \mu_N = \frac{\ell_N}{a}$ .

Сравнение величины периода повторяемости "С", найденного из рентгенограммы, со значением длины повторяющегося звена, рассчитанного теоретически из радиусов атомов и валентных углов между атомами макромолекулы, дает возможность сделать заключение о конфигурации цепи. Так, если экспериментальное и теоретическое значения периода повторяемости совпадают, цепь будет представлять собой плоский зиг-заг. Если величина экспериментально найденной длины повторяющегося звена превышает теоретическое значение, цепь может представлять собой спираль или иметь другую конформацию и т.д.

Теоретическая величина периода повторяемости может быть рассчитана из данных таблицы радиусов атомов.

Таблица II

АТОМ	Ковалентные связи	
	одинарная	двойная
H	0,30-35	-
C	0,77	0,56
N	0,70	0,50
O	0,66	0,55
P	1,1	1,0
S	1,04	0,94

### Экспериментальная часть

Целью работы является рентгенографическое изучение фазового превращения при изотермической кристаллизации и при срещатии полимеров, находящихся в аморфном состоянии.

Аппаратура: рентгеновский аппарат УРС-55а;  
рентгеновские камеры РКД и РКСО;  
рамки для растяжения образцов;  
термостат.

Образцы: полизиэтилентерефталат, каучук, полизобутилен.

### Рентгеновский аппарат УРС-55а

Аппарат УРС-55а (рис. 26) состоит из двух основных частей: высоковольтного трансформатора (1) и пульта управления (2). На крыше высоковольтного трансформатора укреплен замкнутый кожух для помещения рентгеновской трубы (3). К кожуху крепятся столики для камер рентгеноструктурного анализа (4). Пульт управления состоит из пускорегулирующей аппаратуры. Он оснащен с генераторным устройством (трансформатором 1) и с питанием сетью. Система сигнальных ламп (5) указывает на правильность включения аппарата. Постоянство анодного тока рентгеновской трубы поддерживается при помощи феррорезонансного стабилизатора в цепи накала рентгеновской трубы. Охлаждение анода рентгеновской трубы и высоковольтного трансформатора производится проточной водой от водопровода.

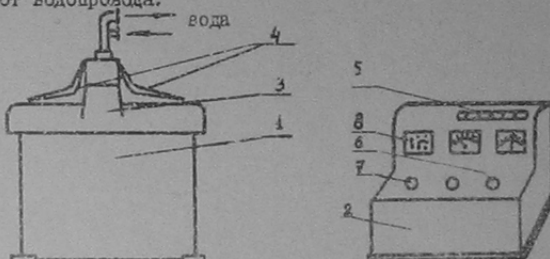


Рис. 26

Регулировка напряжения на рентгеновской трубке осуществляется при помощи коммутатора напряжений на 8 ступеней (6). Каждая ступень соответствует напряжению в 5 кв., регулировка начинается с 25 кв. Для установки номинального напряжения имеется сетевой корректор на 6 ступеней напряжения (7). При установке сетевого корректора в первое положение рентгеновский аппарат выключается. Аппарат снажен системой блокировок: а) не допускающей работу аппарата при отсутствии охлаждающей воды; б) не допускающей работу аппарата при снятии крышки высоковольтного трансформатора; в) позволяющей включить высокое напряжение только при установке коммутатора напряжения на первую ступень (низовое положение).

Рентгеновская трубка БСВ-2 Си с водяным охлаждением, рассчитанная на одновременную работу 2-х камер, имеет медное зеркало анода (длина волны  $\lambda_x = 1,54 \text{ \AA}^0$  и  $\lambda_y = 1,39 \text{ \AA}^0$ ). Для получения пучка монохроматических лучей  $\beta$  - излучение как можно более интенсивное, отфильтровывают. Материалом фильтра является металл, стоящий на клетку раньше в таблице Менделеева, чем материал анода. Для медного излучения фильтром является никелевая фольга толщиной  $\sim 18 \mu$ . Включение и выключение аппарата производится только под наблюдением преподавателя согласно инструкции, помещенной на стене над аппаратами.

#### Камера цилиндрическая типа РКП (Лебая).

Цилиндрическая камера Лебая используется для получения рентгенограмм от изотропных поликристаллических веществ (рис.27). Устройство ее таково: цилиндрический корпус камеры (1) укреплен на подставке (2) с тремя установочными винтами (3). Рентгеновские лучи попадают в камеру через диафрагму (4), закрытую колпачком (5), в который вставляется никелевый фильтр при съемке на Си - лучах. В противоположном конце камеры установленна ложушка рентгеновских лучей (6), в которую вмонтирован флюоресцирующий экран (7). Во время установки образца экран заменяется на увеличительную линзу. В дне корпуса камеры помещается центрирующее устройство (8) с магнитным столиком, к ко-

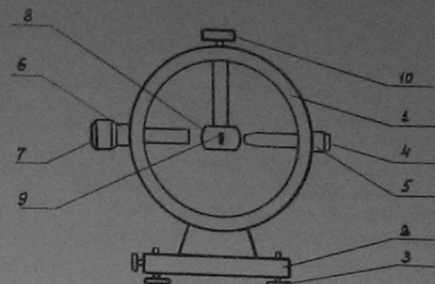


Рис. 27

торому с помощью пластилина крепится образец исследуемого вещества (9). Столик вместе с исследуемым веществом имеет возможность перемещаться в центрирующем устройстве в плоскости, перпендикулярной оси камеры, с помощью центрирующего винта (10). Ось вращения центрирующего устройства совпадает с осью камеры. Юстировка образца в камере состоит в том, чтобы добиться положения образца в направлении оси камеры. Это производится с помощью винта (10) и перемещением вручную магнитного столика. При рассматривании образца с помощью луны он должен быть расположен симметрично относительно отверстия диафрагмы и при ведении положения и при вращении относительно оси камеры.

Рентгеновскую пленку в виде полоски с ствердитилем заглаивают по внутренней поверхности камеры после установки образца. Зеркальную камеру с образцом рентгеновской пленкой следует в фотокомнате при свете фонаря с неактическим фильтром на расстоянии не менее 50 см от него. Полоску пленки отверстием надевают на ловушку, предварительно несколько выдвинув ее, чтобы не сбить образца. Концы пленки должны сходить у диафрагмы. Убедившись, что ловушки на месте, накладывают на измеру кривику и вращением ее по часовой стрелке до упора входят положение, при котором она крепится к корпусу камеры тремя винтами.

После этого необходимо проверить, закрыты ли колпачками ловушка с экраном и входное отверстие камеры. Затем камеру устанавливают на соответствующую подставку структурного стола рентгеновского аппарата. С окна рентгеновской трубы снимают свинцовую заслонку, а на ее место устанавливают свинцовый тубус. Только после этого допустимо включать рентгеновский аппарат. Длительность экспозиции зависит от типа образца, его толщины и конструкции камеры. Все камеры заранее отьюстированы. Во время экспозиции камеру перемещать недопустимо.

#### Камера с плоской кассетой (РКСО)

Камеру с плоской кассетой используют для получения рентгенограмм монокристаллов и поликристаллических веществ в изотропном и ориентированном состояниях (рис. 28).

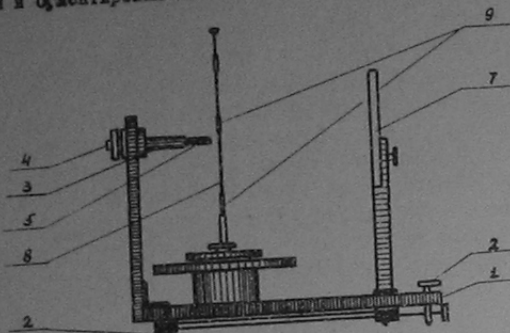


Рис. 28

Основанием камеры является плита (1), устанавливаемая на столике рентгеновского аппарата с помощью 3-х винтов (2). Когда камера установлена у трубы, закрепляются установочные винты и камера может переноситься и снова устанавливаться у трубы без нарушения отьюстровки. Камера заранее отьюстирована, установленные винты трогать не следует. К основанию камеры прикрепленные винты трогать не следует.

на передняя стойка, в которой имеется отверстие для коллиматора (3). Для вырезания узкого первичного пучка рентгеновских лучей в коллиматор вставляются первая (4) и вторая (5) диафрагмы.

В основании камеры имеется устройство для установки образца (6), которое дает возможность перемещать образец как по вертикали, так и вращать его относительно вертикальной оси. Это необходимо для установления образца в плоскости, перпендикулярной направлению пучка во время съемки. Изотропные образцы закрепляются в зажимах (9) рамки (8), которая позволяет их растягивать вращением винта (11). Образцы, изотропные или растянутые, устанавливаются и снимаются в рентгеновской камере непосредственно в этих рамках. В задней части камеры крепится кассета с рентгеновской пленкой (7). Камера рассчитана на то, что в фотокомнату уносится только кассета, а не вся камера.

Рентгеновская пленка, помещенная в двойной конверт из черной бумаги, вкладывается в кассету и закрывается крышкой.

#### Фotoобработка экспонированной пленки

Завершив съемку, аппарат выключают, окно рентгеновской трубы закрывают свинцовой шторой. Камеру снимают со столика и переносят в фотокомнату. Проявление и фиксирование проводят при свете фонаря с неактивным фильтром в кюветах. Кюветы размещены в следующем порядке (слева-направо): проявитель - вода -фиксаж. Длительность проявления и фиксирования указывается преподавателем.

Опасайтесь попадания фиксажа в проявитель! Отфиксированную пленку промывают в проточной воде в течение 10 мин. и затем сушат.

#### МЕТОДИКА РАБОТЫ

##### A. Фазовые превращения при изотермической кристаллизации

Образец – аморфный полистилентерфталат.  
Камера – цилиндрическая дебаевская (РКД).

Таблица межплоскостных расстояний

N линии	2ℓ	ℓ	ϑ°	sin ϑ°	2 sin ϑ°	α"
1						
2						
3						
4						

\*) В формуле  $n\lambda = 2 \alpha' \sin \vartheta$   
 $n = 1$  для любого кольца;  
 $(n -$  порядок отражения).

#### Б. Фазовые превращения при ориентации

Образец - натуральный каучук (полизопрен).

Камера - с плоской кассетой (PKC0), рамки для растяжения.

Один образец изотонного каучука толщиной 0,6-0,7 мм в виде шнуря длиной 15 мм закрепляется в зажимах рамки. Рамка устанавливается на соответствующее место камеры. При помощи устройства для установки образцов добиваются такого положения, чтобы плоскость образца была перпендикулярна направлению пучка. При снятой первой диафрагме визуально добивается симметричного расположения образца относительно второй диафрагмы. После вистривания образца и установления заряженной кассеты в камеру можно начинать съемку первого образца в изотропном состоянии.

Второй такой же образец закрепляется в рамке для растяжения симметрично относительно зажимов. Замеряется длина образца между зажимами. Вращением винта рамки постепенно растягивают образец.

Каучук следует растягивать не менее, чем на 700%.

Далее растянутый образец в рамке устанавливается и вистируется в камере.

Экспозиция съемки рентгенограмм составляет 75 мин. После фтоообработки и сушки сопоставляют рентгенограммы изотропного и ориентированного полимера. Затем производится промер рефлексов

на каждой из них. На рентгенограмме ориентированного полимера определяются линии меридиана, экватора и слоевые линии.

Данные измерений и расчета по формулам (6) и (9) сводятся в таблицу.

Таблица междуслойстых расстояний

№ пп	0 слоевая линия				I слоевая линия				и т.д.			
	2l	l	$\operatorname{tg} 2\theta$	$2\vartheta$	0	$\sin \theta$	$\operatorname{tg} 2\theta$	$2\vartheta$	0	$\sin \theta$	$2\sin \theta$	l
1												
2												
3												
4												
5												

\*) В формуле  $\pi l = 2d \sin \theta$   $n = I$  для любого кольца. Расстояние от образца до пленки составляет 38 мм. Затем по рентгенограмме ориентированного полимера находят период повторяемости ядровой оси текстур по формуле (9) и сравнивают его с длиной повторяющегося звена полимера, рассчитанного по длинам валентных связей. Сделать заключение о конформации цепи.

### Задача 2

#### Рентгенографическое изучение распределения ориентаций осей макромолекул в ориентированном состоянии

Цель работы. Расчет кривой распределения макромолекулярных осей по углам ориентации.

Полимерные материалы часто используются в ориентированном состоянии. Наиболее распространенным типом ориентации в полимерах является аксиальная текстура, которая обычно образуется, если при деформации все макромолекулы или кристаллиты в образце располагаются параллельно друг другу.

В большинстве случаев ориентация макромолекулярных осей редко бывает идеальной. Всегда существует некоторый интервал значе-

ний углов, внутри которого расположены направления осей макромолекул. В общем случае под степенью ориентации подразумевается относительное число макромолекулярных цепей, оси которых лежат в некотором интервале значений углов. Среднюю степень ориентации можно определить оптическим методом. Рентгенографически можно определить не только среднюю степень ориентации, но и отклонение направления макромолекулярных цепей от оси ориентации. Известно, что появление избирательного направления в расположении осей макромолекул вызывает перераспределение интенсивностей почернения колец рентгенограммы. Интерференционная картина ориентированного полимера представляет собой совокупность дуг, протяженность которых находится в определенной зависимости с распределением ориентированных областей.

Согласно принципу Вейссенберга интенсивность дифракционных дуг при некотором угле к экватору рентгенограммы пропорциональна числу молекулярных цепей, расположенных под тем же углом к оси расстояния образца. Таким образом, задача определения степени ориентации сводится к измерению интенсивностей интерференций рентгенограммы по азимуту. Для этой цели на экваторе текстур-рентгенограммы выбирается дуга средней интенсивности, расположенная возможно ближе к первичному пучку. С помощью микротометра измеряется изменение степени почернения ядровой дуги. Затем строится кривая распределения интенсивности по кругу, которая характеризует разброс осей молекул относительно оси текстуры.

При определении степени ориентации полимера в кристаллическом фазовом состоянии учитывается только когерентное рассеяние, возникающее при упорядоченном расположении рассеивающих единиц. Поэтому необходимо определить почернение собственно дифракционного пятна ( $E_n$ ), исключив фон. Почернение пересчитываются из интенсивностей рефлексов таким образом

$$E_n = \lg \frac{I_\phi}{I_\rho + I_\phi},$$

где  $E_n$  — почернение в любой точке рефлекса;

$I_\phi$  — интенсивность света, прошедшего через фотометрирующую пленку в месте, где почернение вызвано только фоном;

$J_{\rho+\varphi}$  - интенсивность света, прошедшего через рефлекс рентгенограммы, включая фон.

Азимутальный угол  $\varphi$ , отсчитываемый от точки наибольшего погружения, которая лежит на экваторе, характеризует угол отклонения цепей от направления ориентации. Значения  $J_{\rho+\varphi}$  отсчитываются от темновой метки до фотометрической кривой. Темновая метка соответствует интенсивности, прошедшей через непрозрачную пленку и практически равна нулю. Фотометрирование по кругу и меридиану обязательно производится при одинаковой чувствительности прибора.

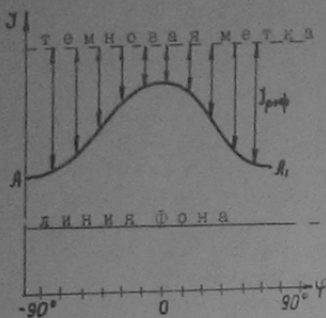


Рис. 28

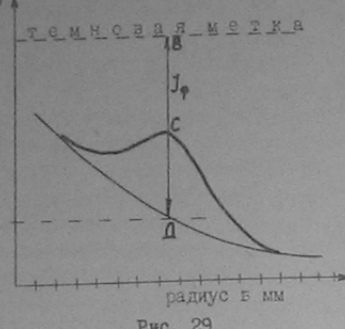


Рис. 29

На рис. 28 изображена фотометрическая кривая по полуокругу. Значения ординат от темновой точки до кривой представляют собой величину  $J_{\rho+\varphi}$  для каждого угла  $\varphi$ . На рис. 29 представлена кривая фотометрирования по меридиану. По условию фотометрирования точка "С" рис. 29 соответствует минимуму кривой в точках А и А<sub>1</sub> рис. 28. Для нахождения  $J_\varphi$  под кривой фотометрирования проводят плавную линию, которая соответствует линии фона. Отрезок СД отвечает интенсивности рассеяния рентгеновых лучей, а ВД - интенсивности фона -  $J_\varphi$ . Зная  $J_{\rho+\varphi}$  и  $J_\varphi$ , теперь можно рассчитать  $E_n$  и построить кривую зависимости погружения рефлекса от угла  $\varphi$  (рис. 30).

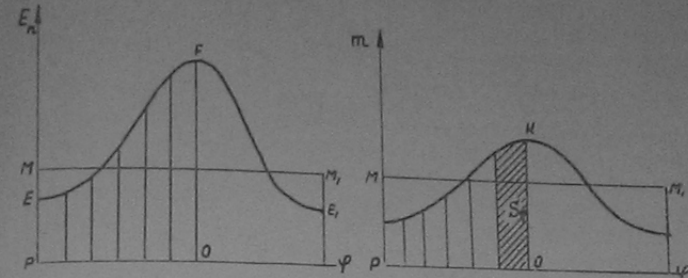


Рис. 30

Рис. 31

Площадь, ограниченная этой кривой, представляет собой интегральное погружение, обусловленное рассеянием ориентированного материала. Для расчета функции распределения осей макромолекул кривую погружения необходимо нормировать путем приведения площади под кривой к одному значению - площади прямоугольника с высотой, равной единице. Для этого значение  $E_n$  пятна рентгенограммы относят к средней высоте  $\bar{E}$ , которую находят путем деления площади под кривой погружения на основание ОР:  $\bar{E} = \frac{S_{PERO} (\text{мм}^2)}{OP (\text{мм})}$ .

Площадь  $S_{PERO}$  измеряется планиметром. Теперь значения  $E_n$  необходимо выразить в единицах погружения путем деления на  $\bar{E}$ . Кривые в координатах  $t = \frac{E_n}{\bar{E}}$  и  $\varphi$ , т.е. нормированное кривые погружения, позволяют судить об ориентации материала. Линия нормирования MM' отсекает прямоугольник, равновеликий площади под кривой фотометрирования. Он отвечает изотропной структуре, когда цепи или их сегменты расположены равномерно во всем угле. Количественное распределение цепей по углам выражается участками площадей ( $\delta_\varphi$ ), образуемыми кривой, ординатами и абсциссами выбранного интервала углов, а отношение площадей этих участков к общей площади ( $S$ ) дает процент частич, расположенных в этом угловом интервале. На основании этих данных

можно построить кривую распределения доли материала  $\omega$  в % по углам ориентации.

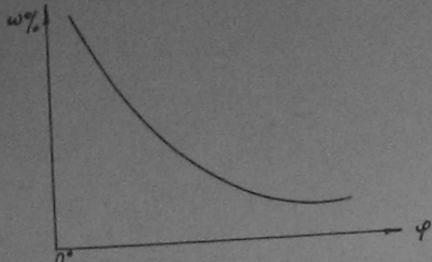


Рис. 32

### Экспериментальная часть

Целью работы является получение рентгенограммы ориентированного полимера и расчет кривой распределения ориентаций осей макромолекул.

Прежде, чем приступить к работе, необходимо ознакомиться с устройством прибора.

Фотосалектрический регистрирующий микрофотометр МФ-4 предназначен для измерения и регистрации интенсивности света, прошедшего через рентгеновскую пленку.

Принцип работы прибора состоит в следующем. Пучок света, проходя через фотометрируемый участок пленки, попадает на светочувствительный слой элемента, возбуждая в нем фототок. Ток от фотодиода поступает в гальванометр и вызывает в нем поворот рамки с зеркалом, при этом на отсчетный экран проектируется различные участки шкалы. Величина отклонения зеркала пропорциональна фототоку, возникающему в фотодиоде; этот ток, в свою очередь, пропорционален световому потоку, падающему на фотодиод, и величина светового потока зависит от оптической плотности фотометрируемого участка фотопленки. Таким об-

разом, с изменением плотности пленки изменяются показания шкалы. На основании полученных отсчетов можно судить об оптической плотности различных участков рентгенограммы.

Фотометрируемая пленка помещается на специальную приставку (см. на прибор) пред назначенную для фотометрирования по колычу рентгенограммы. С помощью рукоятки (2) осуществляется вращение рентгенограммы по кругу. Рентгеновскую пленку устанавливают для фотометрирования с помощью винтов (4,7), которые обеспечивают перемещение по плоскости в двух взаимно-перпендикулярных направлениях; более плавное перемещение пленки вдоль каретки микрофотометра обеспечивается микровинтом (3). После установки рентгеновской пленки на приставке она фиксируется зажимами. Показания пропускания пленки в различных ее местах фиксируются визуально с помощью шкалы (5).

Включение прибора производится включением штепсельной вилки в сеть и тумблером.

Микрофотометр встриуется техником и вращать не указанное в каждой инструкции рукоятки и винты строго воспрещается!

Аппаратура: рамка для растяжения образца;  
рентгеновская камера с плоской кассетой;  
рентгеновский аппарат УРС-55;

микрофотометр МФ-4.

Образцы: политетрафторэтилен.

### Порядок работы

Образец полимера вырезается в виде полоски 3x20 мм и закрепляется в зажимах рамки. Вращением винта рамки достигается растяжение образца на 300-500%. Съемка рентгенограммы образца производится так, как описано в методике к задаче № 1 (стр. 39).

После сушки экспонированной и проявленной пленки производят ее фотометрирование. Порядок работы таков.

I. Вначале необходимо точно найти центр рентгенограммы. Это можно сделать, измерив диаметры колец с помощью линейки. Центр отметить точкой. На концах рентгенограммы пометить линии акватора. Нанести на акваторе вправо и влево от рефлакса на рас-

стопки 5-6 мм точки. Наколоть линию экватора и точки за один рефлекс рентгенограммы неконустико.

2. Наколоть рентгенограмму на иглу стеклянного диска таким образом, чтобы игла была точка в центре рентгенограммы. Обернуть края пленки по форме отверстия. Сместить экватор с меткой на приставке для фотометрирования. Рентгенограмму со стеклом закрепить с помощью зажимов на круговой шкале.

3. Установить рентгенограмму со стеклом на приставку микропротометра (иглой вниз).

4. Винтами 4 и 7 добиться положения, когда центр рентгенограммы спроектируется на экран симметрично относительно щели. Винт (7) закрепить в этом положении.

5. Вращением рукоятки (2) совместить метки на рентгенограмме с положением "0" на круговой шкале.

6. Винтом (4) переместить рентгенограмму до положения, когда на экране спроектируется фотометрируемый рефлекс симметрично относительно щели.

7. Повернуть рентгенограмму на  $90^\circ$ , вращая рукоятку (2) против часовой стрелки. С этого положения рентгенограммы можно начинать фотометрирование. Включить тумблер "открыто".

8. Медленно перемещать рентгенограмму по колычу по часовой стрелке, измеряя показания интенсивности по шкале через каждые  $5^\circ$ .

После окончания фотометрирования рефлекса по кругу, необходимо профотометрировать по радиусу рентгенограмму для нахождения  $\bar{I}_\phi$ . Для этого -

9. Установить микровинт (3) в нулевое положение.

10. Спроектировать на экран точку, отмеченную на экваторе, расположенную ближе к центру. Вращением микровинта (3) перемещать рентгенограмму по радиусу. Интенсивность измерять через каждые 0,5 мм, что соответствует одному обороту винта.

11. Построить графики в координатах, указанных на рис. 28 и 29.

12. Произвести на этой методике расчет разброса молекулярных осей, относительно оси ориентации.

13. Построить график зависимости относительного количества материала, распределенного по углам ориентации.

Данные фотометрирования и расчета следует свести в таблицу.

Таблица

Угол $\chi$	$I_{\rho+\varphi}$	$I_\phi$	$\frac{I_\rho}{I_{\rho+\varphi}}$	$E_\rho = \frac{I_\rho}{I_{\rho+\varphi}}$	$m = \frac{E_\rho}{E}$	$\omega = \frac{\Delta}{S}$

### Задача 3

#### Определение оптического знака двуплучепреломления сферолитов полипропилена

Целью работы является установление оптического знака двуплучепреломления и определение ориентации осей макромолекул в сферолитах полипропилена.

Для определения оптического знака используется принцип изменения интерференционной окраски при последовательном прохождении световых лучей через сферолит и так называемую пробную пластинку (стандартный кристалл).

Из оптики известно, что световая волна поляризованного света, входящая в кристалл, разбивается на две, имеющие при выходе из кристалла разность хода  $\Delta$ . Разность хода возникает вследствие различной скорости распространения обеих волн, и она прямо пропорциональна толщине кристалла ( $d$ ) и разности показателей преломления ( $n_1 - n_2$ ) волн в данном сечении кристалла:

$$\Delta = d(n_1 - n_2)$$

Длины волн белого света имеют возможные значения в интервале приблизительно 380-780  $\text{мкм}$ . Получающаяся в кристалле разность хода для лучей одних волн будет равна четному, для других - нечетному числу полуволны. Поэтому волны одной длины - одни цвета, входящие в состав белого света, будут при интерференции уничтожаться, другие, наоборот, усиливаться. В результате, отношение интенсивностей различных цветов будет иным,

чем в белом свете и кристалл будет казаться окрашенным. Каждой разности хода соответствует некоторая интерференционная окраска.

Таблица интерференционных цветов при различной разности хода

Разность хода в мкм	Цвета	Порядки
65 - 220	Серый	I
220 - 270	Белый	I
270 - 490	Белый	I
490 - 550	Красный	I
550 - 570	Фиолетовый	Граница
570 - 705	Синий	II
705 - 795	Зеленый	II
795 - 935	Белый	II
935 - 1040	Красный	II
1040 - 1105	Фиолетовый	II

В настоящей задаче в качестве пробной пластики используется кристалл кварца. В скрещенных николях он имеет краснофиолетовую окраску, что соответствует  $\Delta \approx 550 \text{ мкм}$ .

Определение знака сферолита основано на наблюдении изменения разности хода (окраски) при последовательном прохождении светового луча через кристаллы кварца и сферолит. Для понимания физического явления, происходящего при этом, необходимо ввести и понятие об оптической индикатрисе. Любые кристаллы, в том числе и те, о которых шла речь (кварц, фибрilla сферолита), обладают анизотропией физических свойств. Характер оптической анизотропии можно связать с помощью особой вспомогательной поверхности, которая называется оптической индикатрисой. Каждый радиус-вектор индикатрисы, своей величиной выражает показатель преломления кристалла для тех волн, колебания которых совершаются в направление этого вектора. В общем случае эта поверхность имеет форму эллипсоида. Условились кристаллы называть положитель-

ными, если индикатриса имеет форму вытянутого эллипсоида (рис. 33) и отрицательными, когда индикатриса сжата.

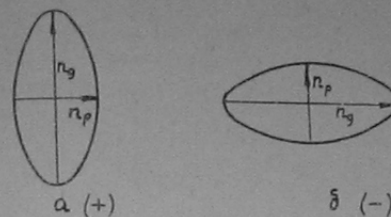


Рис. 33

На этом рисунке больший показатель преломления обозначен  $n_g$ , меньший —  $n_p$ . Кристалл кварца пробной пластики, используемой в задаче, имеет отрицательный знак; так, его индикатриса имеет вид, как на рис. 33б. Этую пластинку вставляют в особую прорезь, расположенную в нижней части тубуса микроскопа, непосредственно над объективом, под углом  $45^\circ$  к направлению колебаний в николях. При последовательном прохождении луча через кварц и сферолит наблюдается изменение интерференционной окраски, а по последней можно сделать вывод, какая существует между ними параллельность — прямая или обратная. При прямой параллельности знаков сферолита и пластики разность хода возрастает и получается один из цветов II порядка; при обратной параллельности происходит уменьшение разности хода и, следовательно, возникает цвет I порядка. Следует указать, что изменения интерференционной окраски сферолита следует сопоставить с пробной пластинкой во 2 и 4 квадратах, т.е. в том направлении, в котором вставлена пластина (рис. 34). Определив знак двулучепреломления кристаллических фибр или сферолита, можно сделать вывод о характере ориентации молекуларных цепей по отношению к радиусу сферолита.

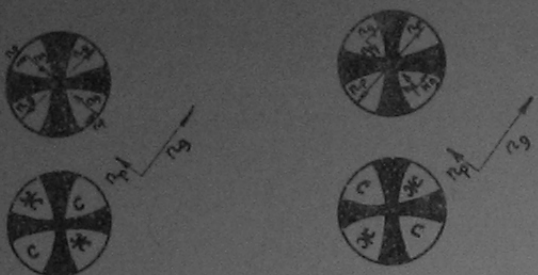


Рис. 34

### Экспериментальная часть

Задачей данного исследования является определение оптического знака сферолитов в тонких слоях изотактического полипропилена, полученных при различных температурах кристаллизации.

Аппаратура: поляризационный микроскоп МИН-8, нагревательная печь.

Образцы: полипропилен изотактический.

### Устройство поляризационного микроскопа

Для получения поляризованного света в микроскопе используют призмы Николя или поляроиды. В основу конструкции призм положено свойство лучей поляризоваться при прохождении через кристаллы. Но так как луч света, попавший в кристалл, распадается на два луча, поляризованных в двух взаимно перпендикулярных направлениях, то для того, чтобы иметь свет, поляризованный в одной плоскости, надо освободиться от одного из лучей. Это достигается тем, что лучи на своем пути в кристалле встречают расположенную под определенным углом пластинку с показателем преломления, подобранным таким образом, что для одного из лучей

осуществляется полное внутреннее отражение. Этот луч отклоняется в сторону и поглощается оправой никеля.

Оптическая схема микроскопа включает два никеля, расположенных один над другим. Если расположить их так, чтобы оба они пропускали лучи с колебаниями в одной и той же плоскости, поле зрения будет освещено так же, как в случае прохождения света через один никель. Такое положение никелей называется скрещенным. На поляризационном микроскопе можно работать в параллельном или скрещенном положении никелей. Для определения оптического знака сферолитов пользуются обычно скрещенным положением никелей.

Основными частями поляризационного микроскопа (рис.35) являются станина (1), тубусодержатель (2), тубус (3), который может перемещаться вдоль тубусодержателя, объективный столик (4) и расположенная под ним осветительная часть.

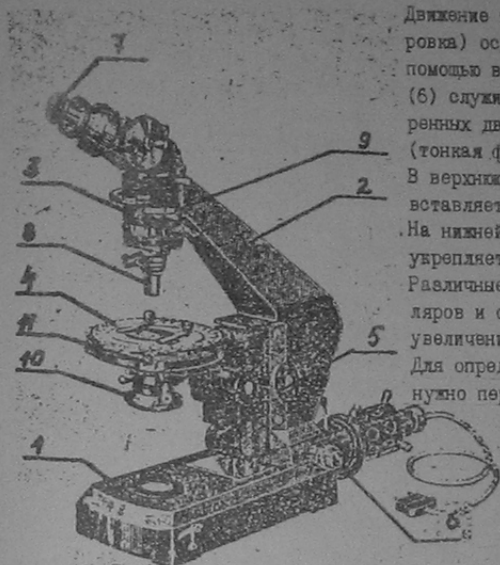


Рис. 35

указание на объектив и окуляр. В нижней части тубуса расположается верхний николь-поларизатор (9), под предметным столиком — нижний анализатор (10). Объектный столик может вращаться в своей плоскости. Задржение столика в нужном положении осуществляется с помощью арретирующего винта (II).

#### Методика работы

Исследование сферолитной структуры изотактического полипропилена ( $T_{\text{пл}} = 165^{\circ}\text{C}$ ) проводится на образцах в виде пленок толщиной 30–40  $\mu$  и полученных при охлаждении расплава полимера. Для этой цели полимер в виде порошка помещают между предметным и покровным стеклами и нагревают в печи при температуре  $230^{\circ}$  в течение 15 мин. Через 7–8 мин., не вынимая образца из печи, надавливают палочкой на верхнее покровное стекло через имеющееся в печи отверстие для получения пленки надлежащей толщины. Затем после получения расплава полимера снижают температуру печи с помощью электронного потенциометра до заданной температуры, при которой проводят изотермическую кристаллизацию полученных пленок. Таким способом готовят образцы пленок при температурах кристаллизации  $100^{\circ}$ ,  $120^{\circ}$ ,  $130^{\circ}$ ,  $134^{\circ}$ ,  $138^{\circ}$  и времени кристаллизации 60 мин., 120 мин. Полученную картину зарисовывают в цвете.

Прежде, чем приступить к работе с микроскопом, необходимо ознакомиться с его устройством.

На основании полученных данных оптических исследований показать схематически направление  $n_p$  и  $n_g$  индикатрисы фибрill сферолитов исследуемых образцов и сделать заключение о возможной ориентации осей молекул в полученных типах сферолитов полипропилена. Собственная индикатриса макромолекулы определяется с помощью стандартного ориентированного образца полипропилена, в котором ось макромолекулы совпадает с направлением вытяжки. Кроме того, указать, к какому морфологическому типу можно отнести сферолиты полипропилена.

#### Задача 4

#### Кинетика кристаллизации полимеров из расплава

Целью работы является изучение кинетики кристаллизации полизтилена из расплавленного состояния. Для этого исследуется зависимость кинетических параметров кристаллизации от температуры кристаллизации и термической истории расплава (т. е. температуры и времени выдерживания расплава при температуре выше температуры плавления).

Для количественного описания процесса кристаллизации при обработке экспериментально полученных изотерм по уравнению Колмогорова-Аврами (стр. 12) определяют суммарную константу скорости кристаллизации "K" и параметр "n", характеризующий механизм зародышебразования и роста зародышей.

Для изучения кинетики кристаллизации необходимо регистрировать изменение каких-либо свойств полимера, изменяющихся при фазовых превращениях. Одним из таких свойств является плотность полимера. Поэтому одним из методов изучения кинетики кристаллизации является дилатометрический метод.

#### Экспериментальная часть

- Аппаратура:
1. Воздушный термостат с терморегулятором для плавления образца (точность термостатирования  $\pm 1^{\circ}\text{C}$ ).
  2. Термостат (с силиконовым маслом) для проведения процесса кристаллизации (точность термостатирования  $\pm 0,15^{\circ}\text{C}$ ).
  3. Стеклянный дилатометр, заполненный исследуемым образцом и соединительной жидкостью (ртуть).
  4. Секундомер.

Образец: полизтилен высокой плотности.

#### Методика работы

Дилатометр (рис. 36), заполненный образцом и ртутью, закрепляют в специальном зажиме и помещают в воздушный термостат, где предварительно была установлена требуемая температура плавления образца.



Рис. 36

Во время опыта температура поддерживается постоянной с помощью электронного потенциометра ЭПВ-2 и латрона. Температура и время плавления задаются преподавателем.

По истечении заданного времени дилатометр быстро переносят в термостат с силиконовым маслом, где предварительно должна быть установлена заданная температура кристаллизации. В ходе изотермической кристаллизации наблюдаются и записываются значения уровня мениска ртути в дилатометре ( $h$ ) через каждые 5 мин. ( $t$ ). Полученные результаты заносят в таблицу, на основании данных которой по окончании эксперимента строится изотерма в координатах  $h - t$ . На рис. 37 приведена характерная дилатометрическая кривая, из которой видно, что после некоторого индукционного периода  $\tau$  начинается процесс кристаллизации, кинетика которого описывается  $S$ -образной кривой. Быстрое падение мениска в начале опыта относится к термическому изменению объема ртути и в расчетах не учитывается. На рис. 37  $h_0$  и  $h_{\infty}$  — высоты менисков ртути в начальный момент и в конце процесса кристаллизации, а  $h_t$  — высота мениска ртути в момент времени  $t$ .

Весовая доля превращенного в кристалл жидкого полимера  $\frac{\omega_x}{\omega_0}$  может быть найдена из уравнения

$$\beta = \frac{\omega_x}{\omega_0} = \frac{h_t - h_{\infty}}{h_0 - h_{\infty}}$$

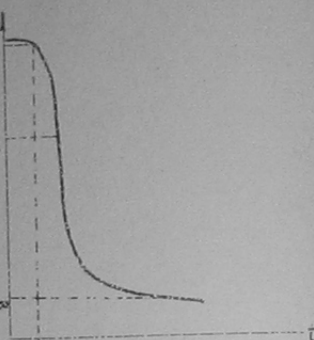


Рис. 37

По истечении заданного времени дилатометр быстро переносят в термостат с силиконовым маслом, где предварительно должна быть установлена заданная температура кристаллизации. В ходе изотермической кристаллизации наблюдаются и записываются зна-

чения уровня мениска ртути в дилатометре ( $h$ ) через каждые 5 мин. ( $t$ ). Полученные результаты заносят в таблицу, на основании данных которой по окончании эксперимента строится изотерма в координатах  $h - t$ . На рис. 37 приведена характерная дилатометрическая кривая, из которой видно, что после некоторого индукционного периода  $\tau$  начинается процесс кристаллизации, кинетика которого описывается  $S$ -образной кривой. Быстрое падение мениска в начале опыта относится к термическому изменению объема ртути и в расчетах не учитывается. На рис. 37  $h_0$  и  $h_{\infty}$  — высоты менисков ртути в начальный момент и в конце процесса кристаллизации, а  $h_t$  — высота мениска ртути в момент времени  $t$ .

Весовая доля превращенного в кристалл жидкого полимера  $\frac{\omega_x}{\omega_0}$  может быть найдена из уравнения

$$\beta = \frac{\omega_x}{\omega_0} = \frac{h_t - h_{\infty}}{h_0 - h_{\infty}}$$

Обрабатывая полученные данные по уравнению Колмогорова-Аврами, которое в данном случае можно записать в следующем виде

$$\theta = \frac{h_t - h_{\infty}}{h_0 - h_{\infty}} = e^{-kt^n}, \quad (4)$$

можно получить численные значения константы суммарной скорости "K" и параметра "n". В задаче необходимо из изотерм Колмогорова-Аврами (в координатах  $\lg[-\lg(\frac{h_t - h_{\infty}}{h_0 - h_{\infty}})]$  от  $\lg t$ ) найти "K" и "n". Параметр "n" находят по тангенсу угла наклона полученной прямой. На оси  $\lg[-\lg(\frac{h_t - h_{\infty}}{h_0 - h_{\infty}})]$  прямая отсекает отрезок, равный  $\lg K - \lg 2.3$ . Отсюда находят "K".

Таблица

$t$	$\lg t$	$h_t$	$h_t - h_{\infty}$	$\frac{h_t - h_{\infty}}{h_0 - h_{\infty}}$	$\lg(\frac{h_t - h_{\infty}}{h_0 - h_{\infty}})$	$-\lg(\frac{h_t - h_{\infty}}{h_0 - h_{\infty}})$	$\lg[-\lg(\frac{h_t - h_{\infty}}{h_0 - h_{\infty}})]$

Сопоставить "K" для двух различных температур кристаллизации или плавления. Объяснить полученные результаты.

Задача 5

#### Изучение связи между структурой и физико-механическими свойствами полимеров

Ценные свойства полимерных веществ связаны с особенностями их строения. Роль надмолекулярных структур при этом в реальных полимерных системах весьма значительна.

Для каждого типа и размера структур, образующихся в полимере, имеются характерные стадии с проявлением определенных физико-механических свойств. Например, на механические свойства

полимеров существенное влияние оказывает размер и тонкое строение сферолитных образований. Размер их может меняться в очень широких пределах от нескольких микрон до нескольких сот микрон. Наиболее оптимальные свойства обеспечиваются однородной по размерам мелкофералитной структурой. Рост крупноизделийных структур неблагоприятно сказывается на формировании механических свойств.

Аналогичная зависимость между структурой и свойствами известна и для металлов. Существует определенная отрасль науки - металлография, которая занимается изучением подобных структур, связывая их с механическими свойствами.

Результаты изучения структуры полимеров в блоке позволяют провести аналогии с металлами не только в отношении существования зависимости их свойств от структуры, но и в отношении методов исследования. Для выявления надмолекулярной структуры полимеров используют заимствованный из металлографии метод травления шлифованных срезов с блоков полимера, основанный на различной растворимости аморфной и кристаллической частей. В качестве "травителей" подбирают растворители, способные избирательно действовать на кристаллические и аморфные участки. Метод позволяет отдельить кристаллическую часть образца от аморфной и выявить геометрию элементов и размеры надмолекулярных образований.

Картинки травления поверхностей исследуются обычными металлографическими микроскопами. С помощью полимерографии можно в общих чертах заранее предсказать механические свойства полимеров.

#### Экспериментальная часть

Целью работы является изучение связи между структурой полимера и его физико-механическими свойствами.

В работе определяется морфологический тип и размер надмолекулярных образований в закаленных и отожженных образцах полимера. Для этих же образцов проводится сопоставление удельной ударной вязкости и устанавливается взаимосвязь между механическими свойствами и структурой полимерных образцов.

- Аппаратура: 1) металлографический микроскоп МИМ-7;  
2) маятниковый колпак МК-0,5 - I.

#### Маятниковый колпак

Маятниковый колпак дает возможность определить показатель удельной ударной вязкости исследуемых образцов. Испытание заключается в том, что по образцу, имеющему форму бруска, свободно лежащему на двух опорах, производят удар маятником (рис. 38) при его падении.

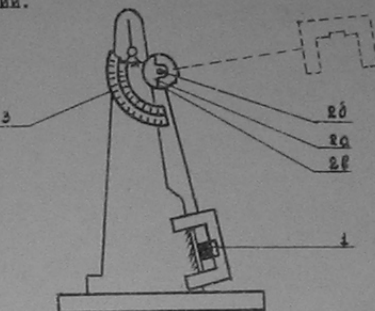


Рис. 38

Перед испытанием маятник устанавливают во взвешенном положении и закрепляют специальным устройством (2, а, д, з). Для спуска маятника из этого положения предохранитель (2а) вращают против часовой стрелки, а рукоятку (2б) - по часовой стрелке. Падая на образец, маятник разрушает или изгибает его. Образец перед испытанием устанавливают на опоры симметрично к таким образом, чтобы удар приходился по его широкой стороне. Затраченная на разрушение работа пропорциональна весу маятника  $G$  и разности высот центра тяжести маятника до испытания и после испытания  $A = G(h - h)$ . Изменение высоты маятника регистрируется указателем на шкале (3). Шкала прибора отградуирована напрямую в кгс·см и по ней без каких-либо подсчетов можно определить величину работы, затраченной на разрушение образца.

Удельная ударная вязкость ( $a_n$ ) есть механическая характеристика материала, равная работе, расходуемой на излом образца при ударе и отнесенное к рабочей площади образца.

Удельная вязкость вычисляется по формуле  $a_n = \frac{A}{B \cdot h}$ ,

где  $a_n$  - удельная ударная вязкость в кгс.см/см<sup>2</sup>;

$A$  - работа, затраченная на излом образца в кгс.см;

$B$  - ширина образца в см. (0,4 см);

$h$  - высота образца в см. (0,6 см).

### Металлографический микроскоп ММ-7

Устройство металлографического микроскопа показано на рис. 39. Для визуального наблюдения образцов обычно используется увеличение х500. Оно достигается применением объектива с фокусным расстоянием 8,2 (А = 0,37) и окуляра 20<sup>X</sup>.

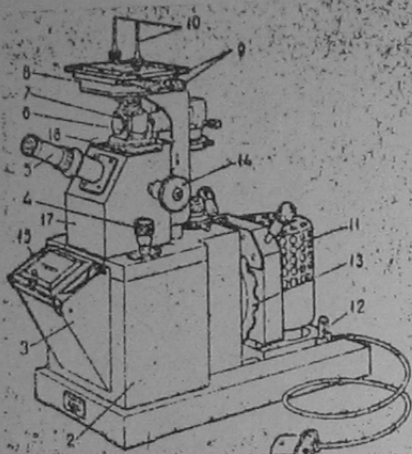


Рис. 39

1 - основание микроскопа, 2 - корпус, 3 - фотокамера, 4 - барабашек микрометральной подачи объектива, 5 - визуальный тубус, 6 - рукоятка диафрагмы тёмного поля, 7 - иллюминатор, 8 - предметный столик, 9 - рукоятки перемещения столика, 10 - клеммы, 11 - осветитель, 12 - рукоятка стопорного устройства осветителя, 13 - диск с набором светофильтров, 14 - рукоятка грубой подачи столика, 15 - матовая пластина, 16 - анализатор, 17 - корпус центральной части.

### Порядок работы

Зависимость физико-механических свойств от структуры полимерных материалов изучается на брусках, изготовленных по различным режимам литьевым способом из поликарбоната. При этом с помощью маятникового копера определяется: разрушается ли образец (хрупкий) или прогибается (эластичный) при падении маятника. Порядок выполнения работы таков. На двух образцах (закаленном и отожженном) проводятся испытания с помощью маятникового копра. Затем на этих же образцах, подвергнутых испытанию, изучается структура.

Для травления выбирается участок, удаленный от места излома или изгиба образца. Поверхность тщательно очищается на корундах и полируется сукном вручную. Затем на нее наносится капля водного раствора фенола на 25-30 мин. По истечении этого времени образец промывается струей воды для удаления растворенной части полимера. Фильтровальной бумагой снимается оставшаяся влага и структура объекта исследуется на микроскопе. С помощью металлографического микроскопа определяется морфологический тип и размер структур.

Размер определяется по следующей методике. На предметный столик микроскопа устанавливается объект - микрометр (шаг деления 0,01 мм) и с его помощью определяется шаг деления стороны квадрата сетки окуляра. Затем на столик помещается образец, фокусируется и подсчитывается количество отдельных образований, умещющихся в поле зрения одного квадрата. При этом выбирается участок образца, имеющий привычественные картины. Шага квадрата к числу структур, можно определить их размеры. Это определяется для трех различных участков и определяется средний размер из трех измерений. По данным исследования делается вывод о зависимости физико-механических свойств и размеров надмолекулярных образований.

Литература

1. А.А.Тагир. "Физико-химия полимеров". 1968, главы V, VI.
2. А.Наркис. "Кристаллизация полимеров", И., 1968, стр.54-59.
3. В.А.Каргин, Г.И.Слонинский. "Краткие очерки физико-химии полимеров" (глава 4).
4. В.Б.Татарокий. "Кристаллооптика и кристаллографический метод".  
"Педра", 1965.

Зак. № 526 от 24/ХП-78г., тир. 600 экз.  
ДФОП. Химический факультет МГУ